

Résultats récents au LHC

Une physique en pleine accélération

Yves Sirois

Ecole Polytechnique, IN2P3/CNRS

The banner features the IN2P3 logo (a stylized '3' composed of blue, yellow, and green arcs) and the text 'IN2P3'. Below the banner, the text 'Physique des 2 Infinis et des Origines' is displayed. To the right of the banner, the logos of partner institutions are shown: ÉCOLE POLYTECHNIQUE (with a crest), UNIVERSITÉ PARIS DIDEROT (with a green 'S'), UNIVERSITÉ PARIS SUD (with a green 'S'), CEA (with a blue 'S'), and CNRS (with a blue circle). A small vertical text 'Bruno Mazzeyer - LAL Orsay' is also visible on the right edge.

Physique des 2 Infinis et des Origines

Colloque d'inauguration

Bruno Mazzeyer - LAL Orsay

Principaux

Objectifs Scientifiques au LHC

Origine des Masses

Brisure de la symétrie électrofaible – masse des particules,
supersymétrie – nature de la matière noire, ...

Unification des interactions fondamentales

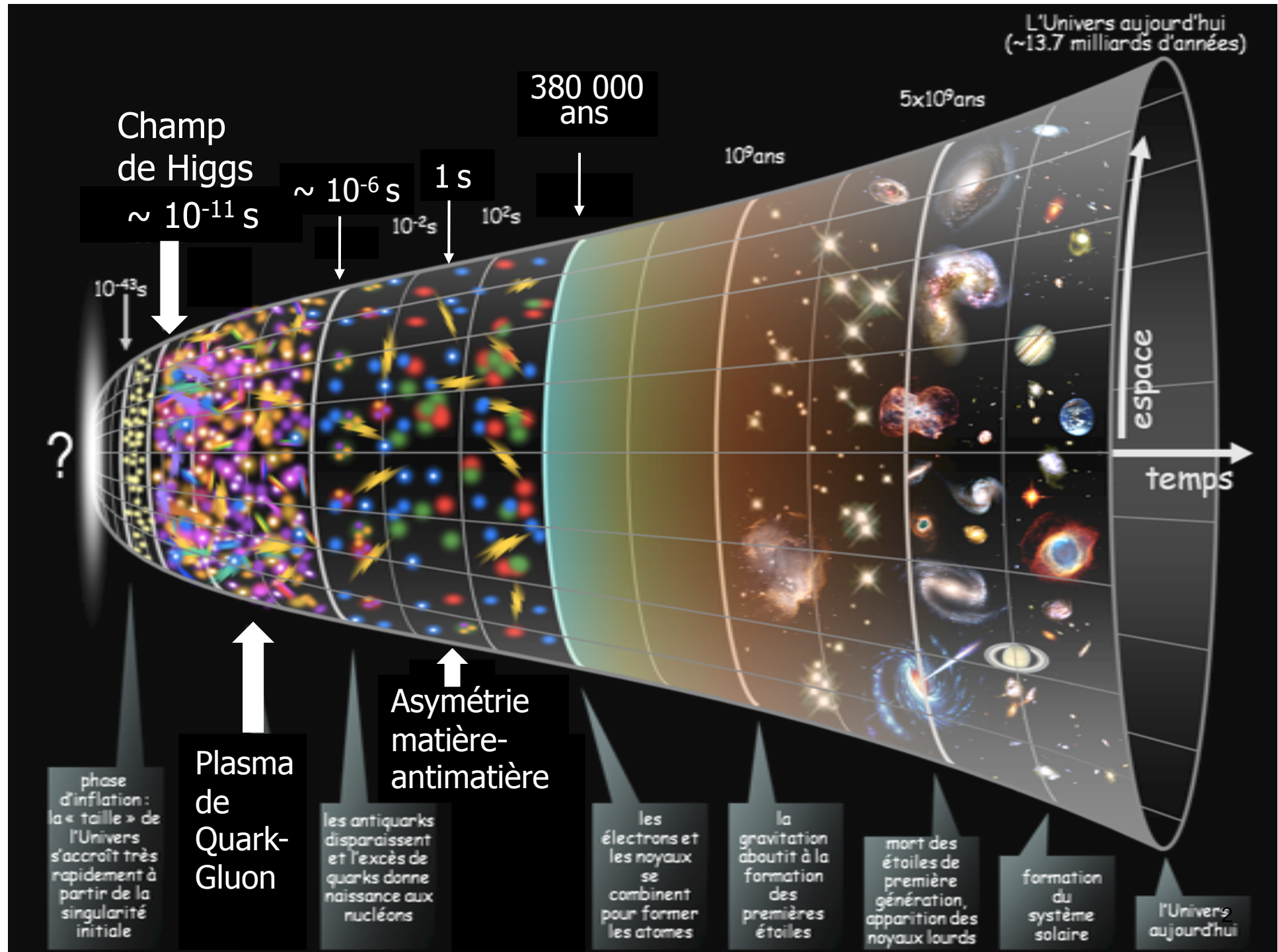
Nouvelles symétries de jauge, dimensions supplémentaires, ...

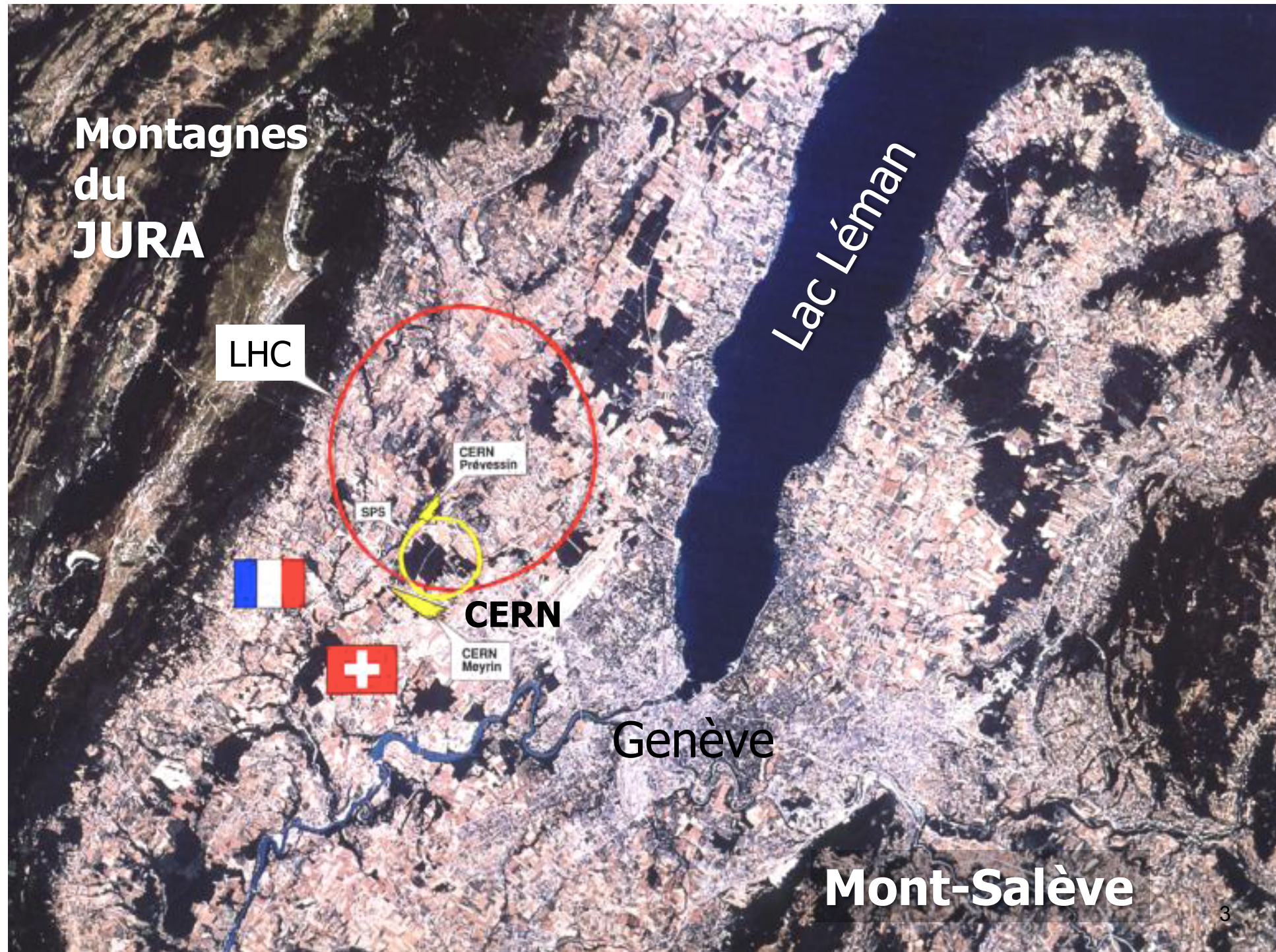
Structure de la matière élémentaire

Trois familles (« répliques ») de fermions, interaction faible
et changements de saveur (CKM et PMNS), violation CP et
asymétrie matière-antimatière

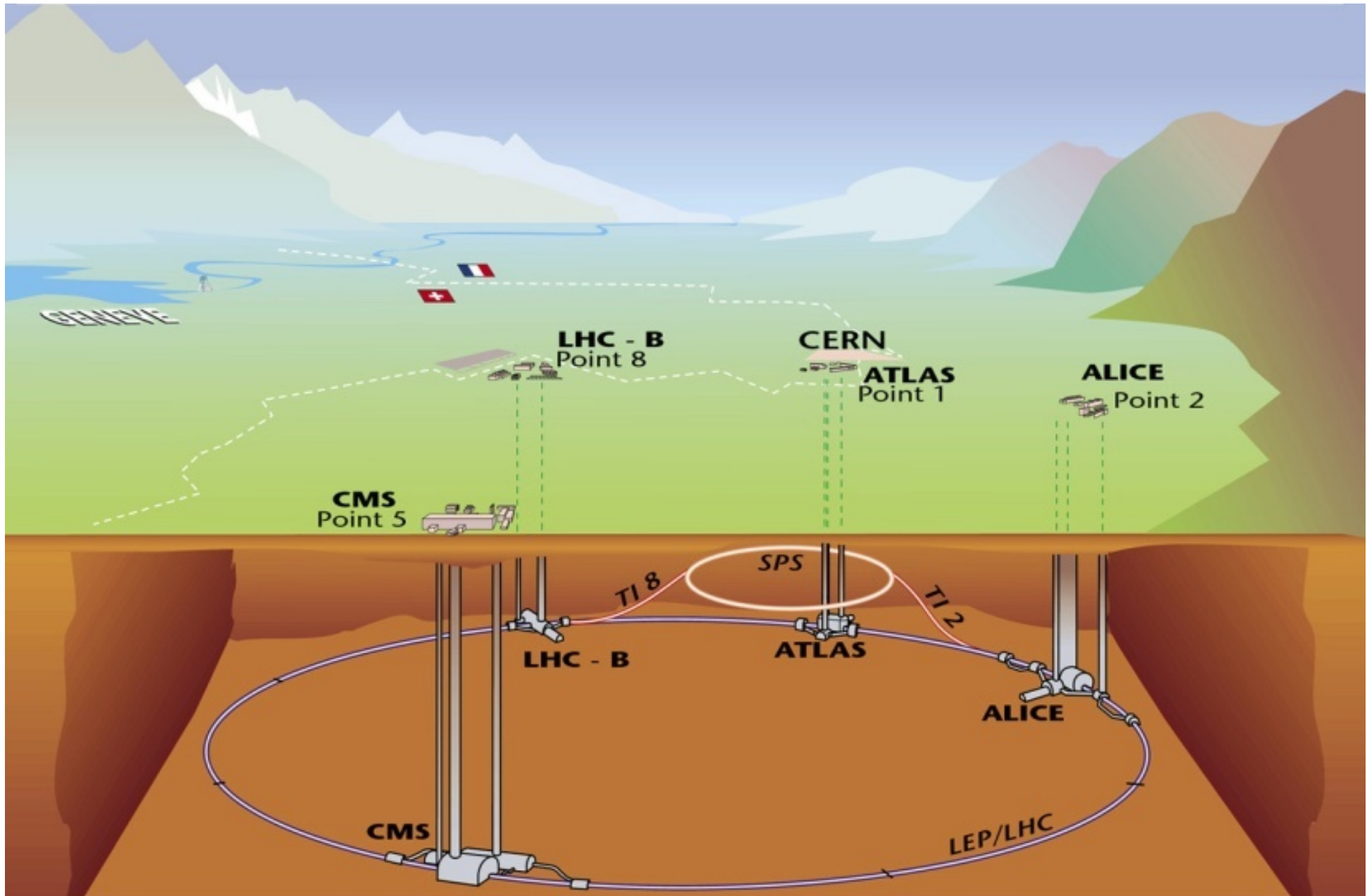
Propriétés de la soupe primitive de matière

Plasma de Quarks Gluons, confinement de la couleur,
masse hadronique, ...





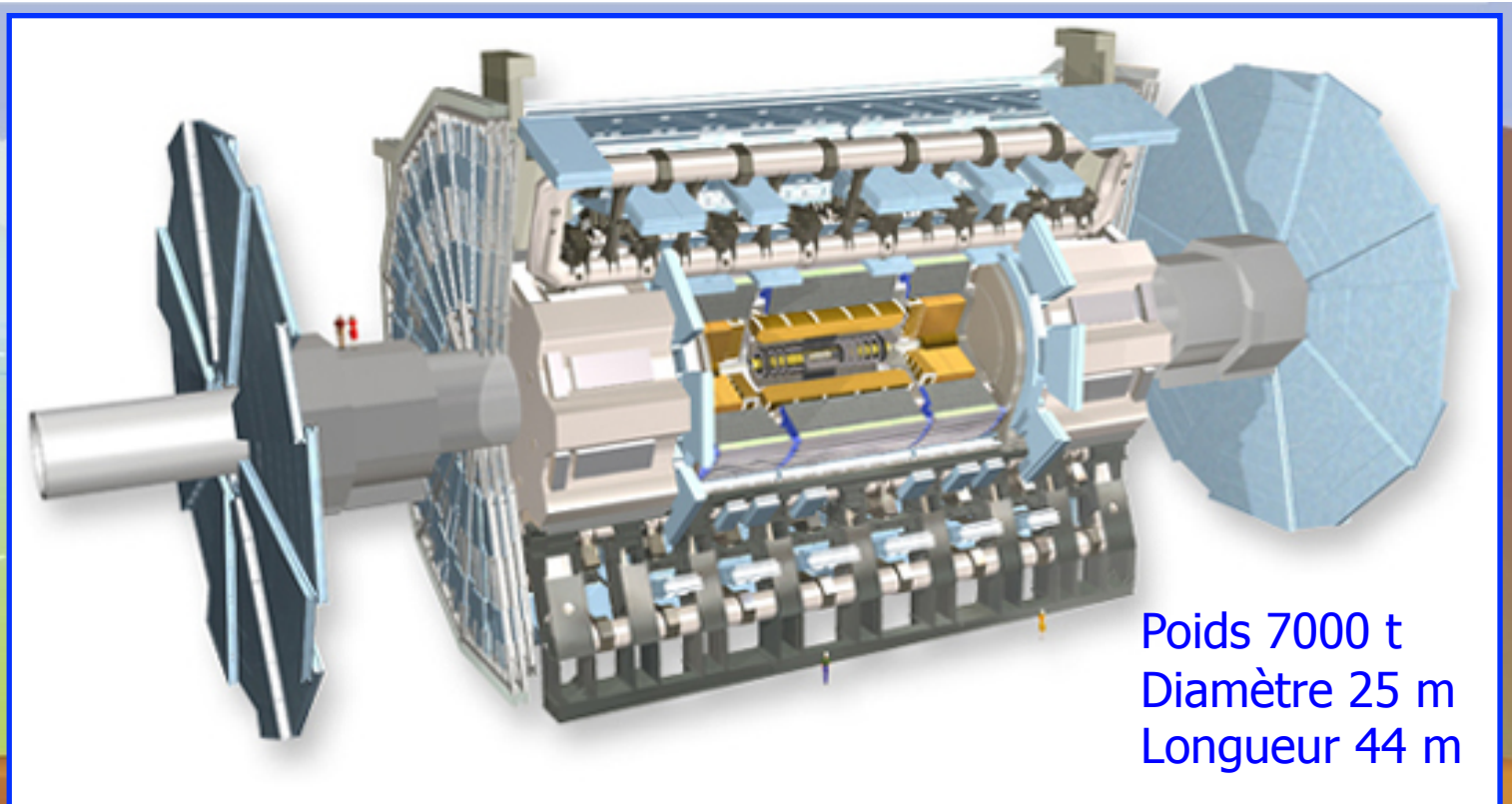
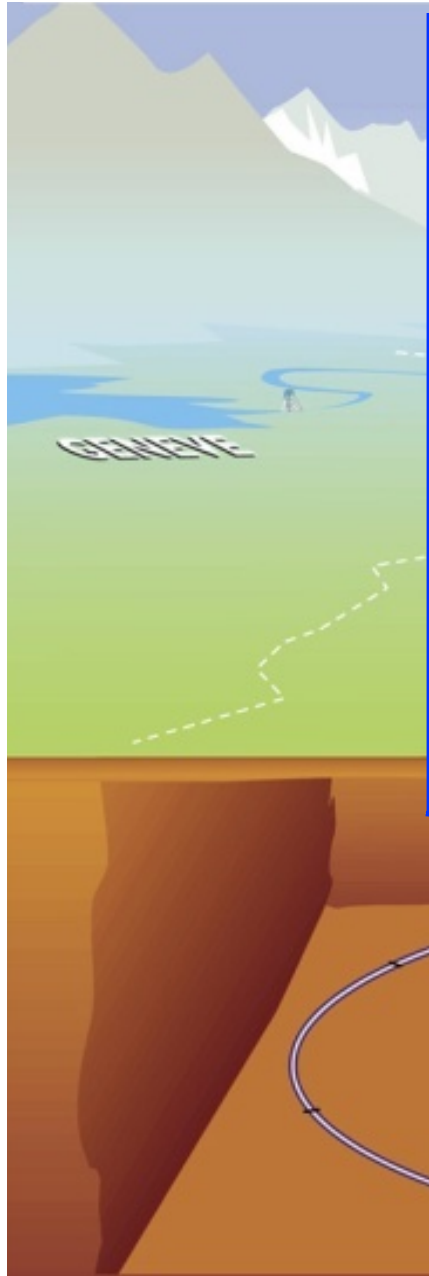




Circumference : 26.7 km

Depth : 45m to 170m

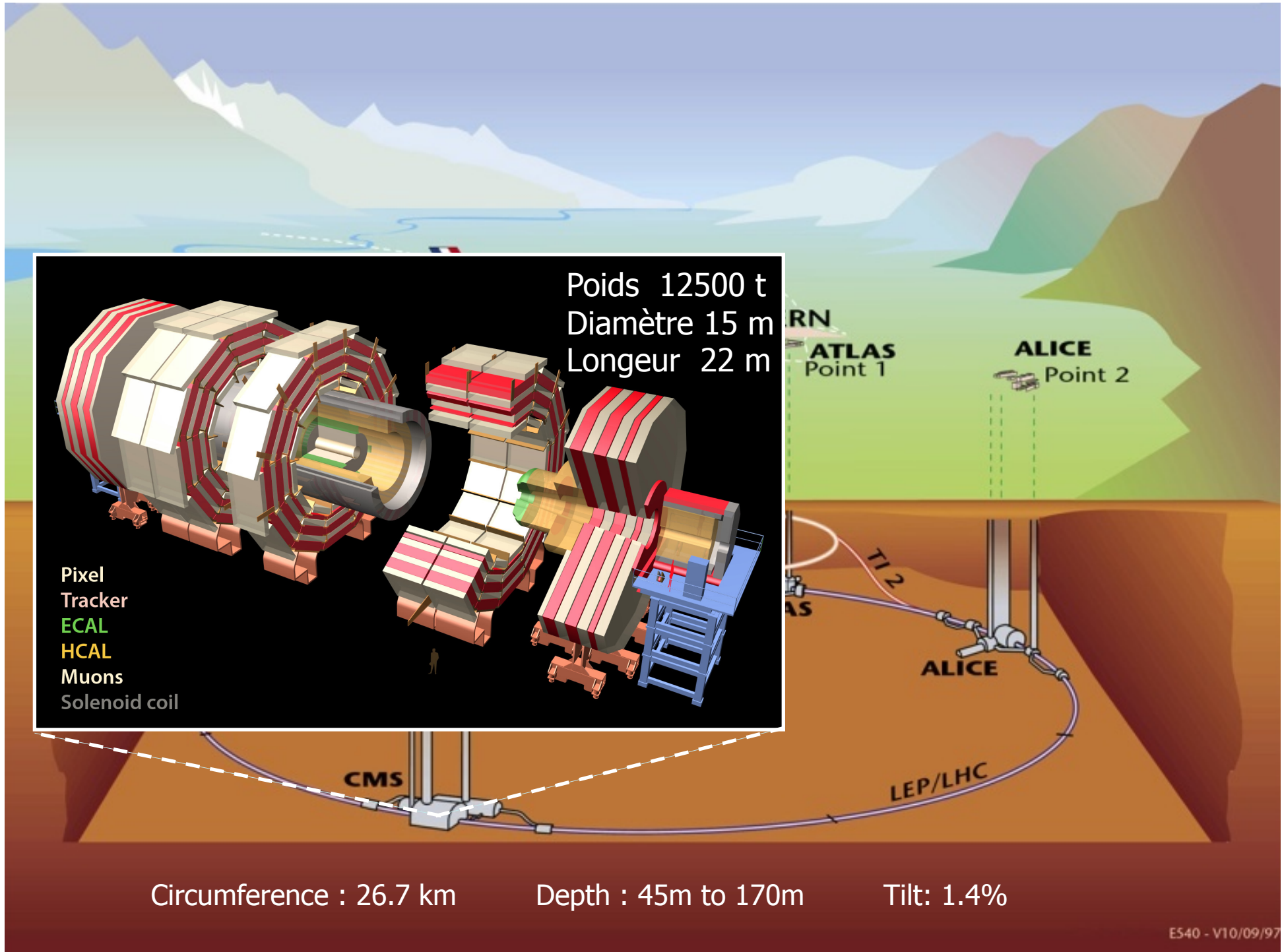
Tilt: 1.4%

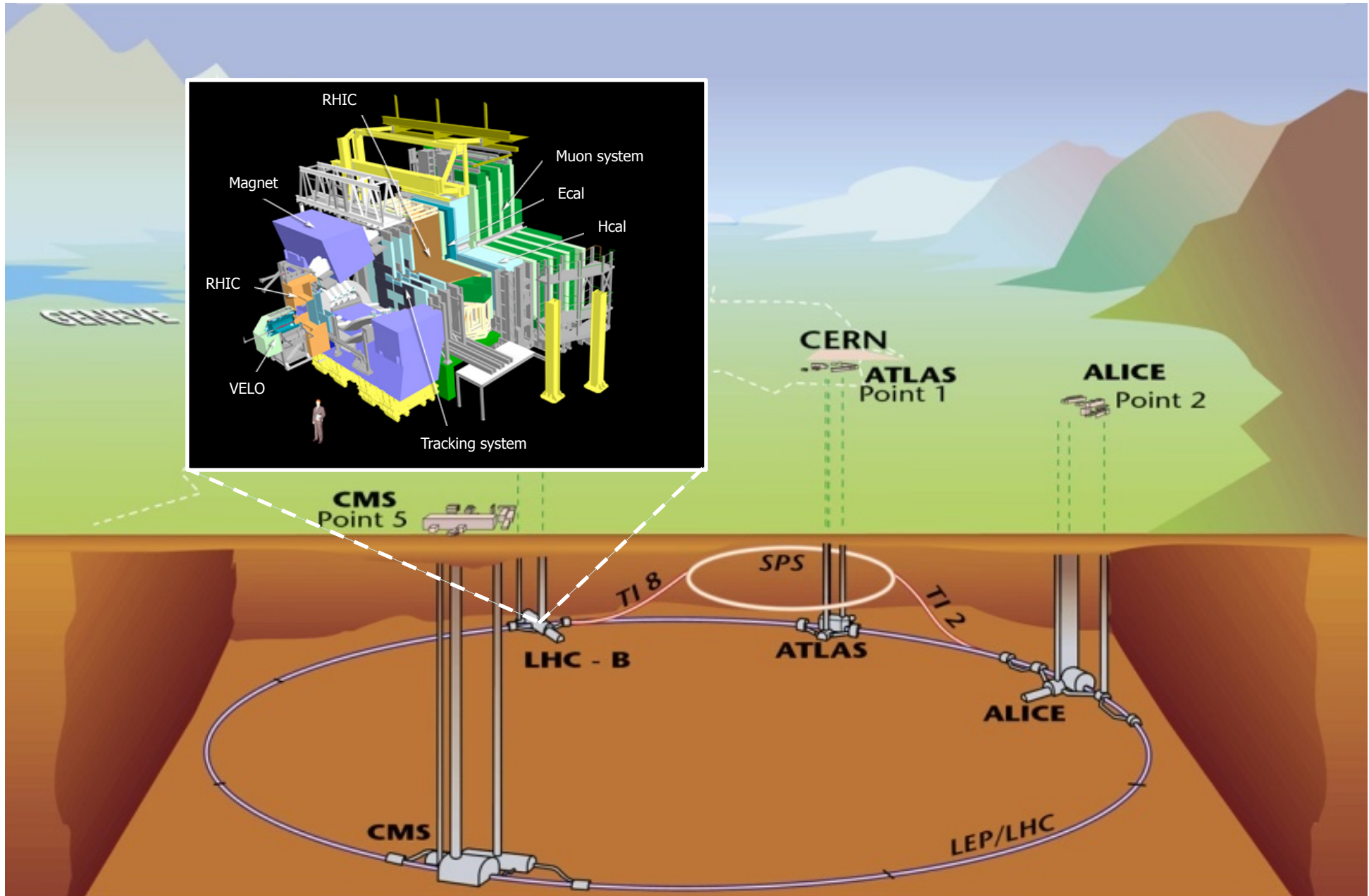


Circumference : 26.7 km

Depth : 45m to 170m

Tilt: 1.4%

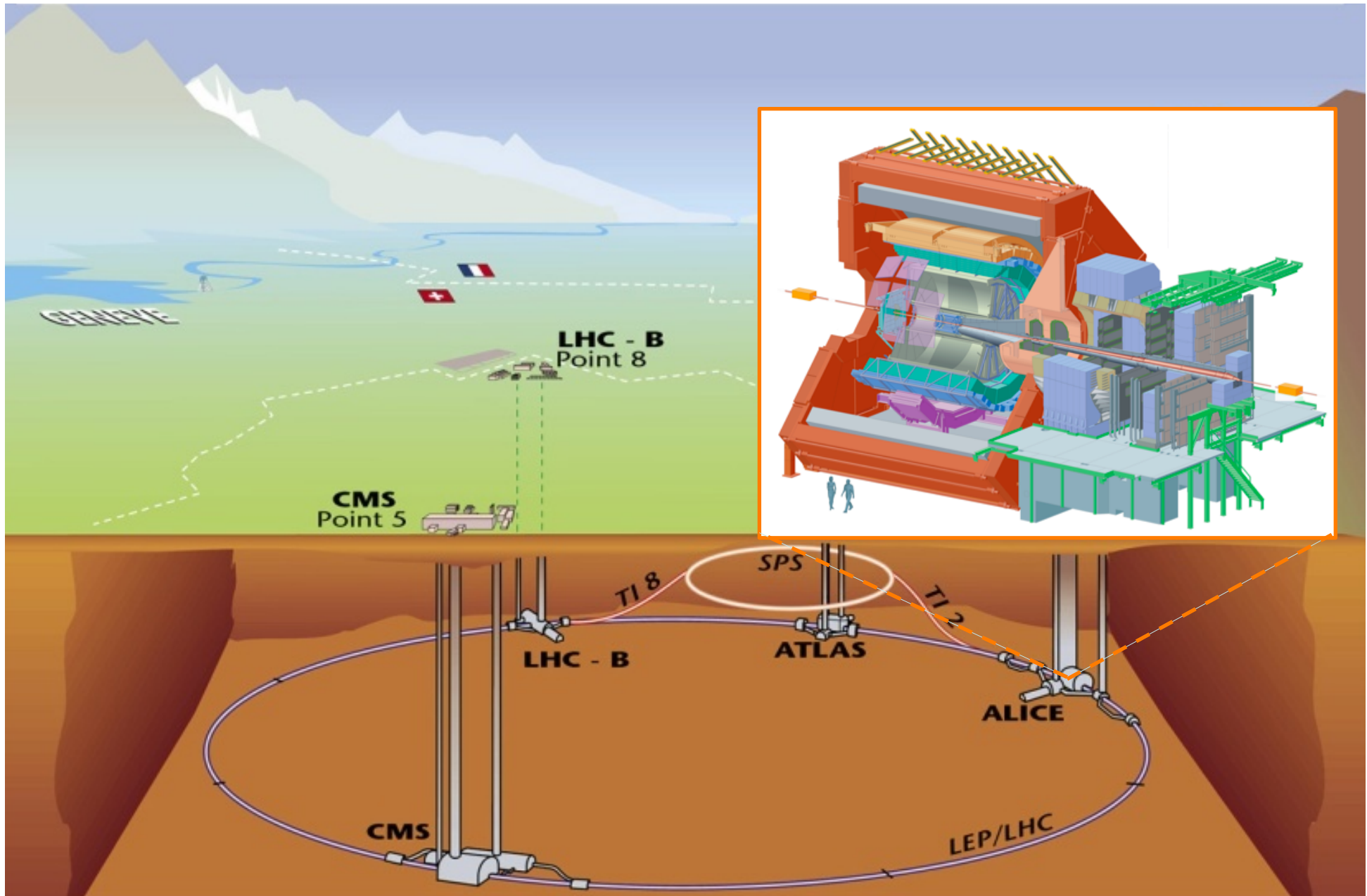




Circumference : 26.7 km

Depth : 45m to 170m

Tilt: 1.4%



Circumference : 26.7 km

Depth : 45m to 170m

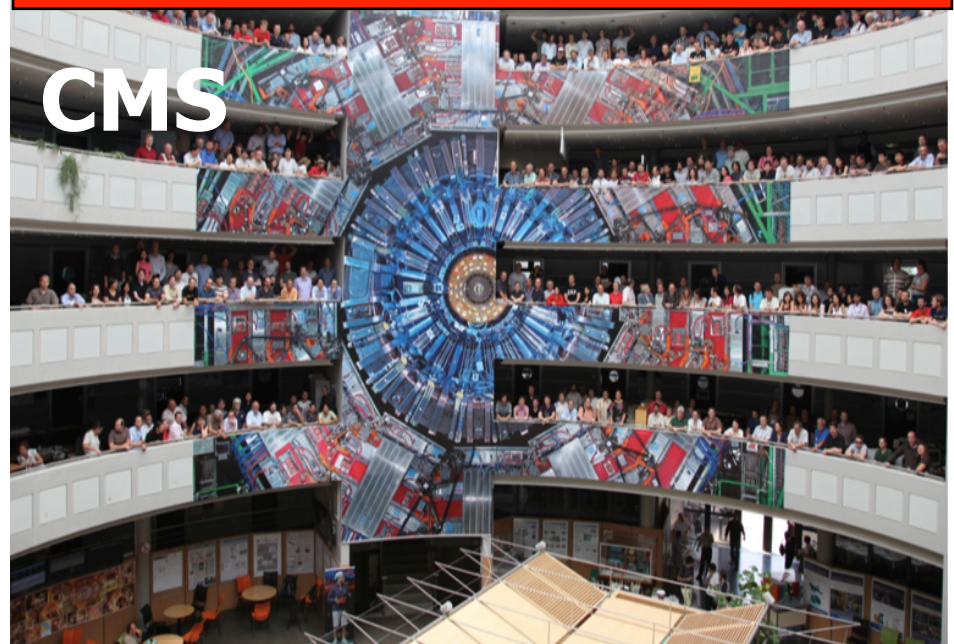
Tilt: 1.4%

Les Physicien(ne)s de

~ 4K scientifiques, 38 pays, 174 institutions
3000 Physicien(ne)s & Thésard(e)s



~ 3K scientifiques, 39 pays, 172 institutions
2200 Physicien(ne)s & Thésard(e)s



~ 750 scientifiques, 15 pays, 52 institutions
575 Physicien(ne)s & Thésard(e)s



1300 scientifiques, 35 pays, 118 institutions
950 Physicien(ne)s & Thésard(e)s



Les Physicien(ne)s de

~ 4K scientifiques, 38 pays, 174 institutions
3000 Physicien(ne)s & Thésard(e)s



~ 3K scientifiques, 39 pays, 172 institutions
2200 Physicien(ne)s & Thésard(e)s



9000 scientifiques de 58 pays

Plus de 200 institutions (laboratoires, universités)

4500 Physicien(ne)s
+ 2000 Thésard(e)s *

* ~ 30% des signataires



~ 750 scientifiques, 118 institutions
575 Physicien(ne)s & Thésard(e)s

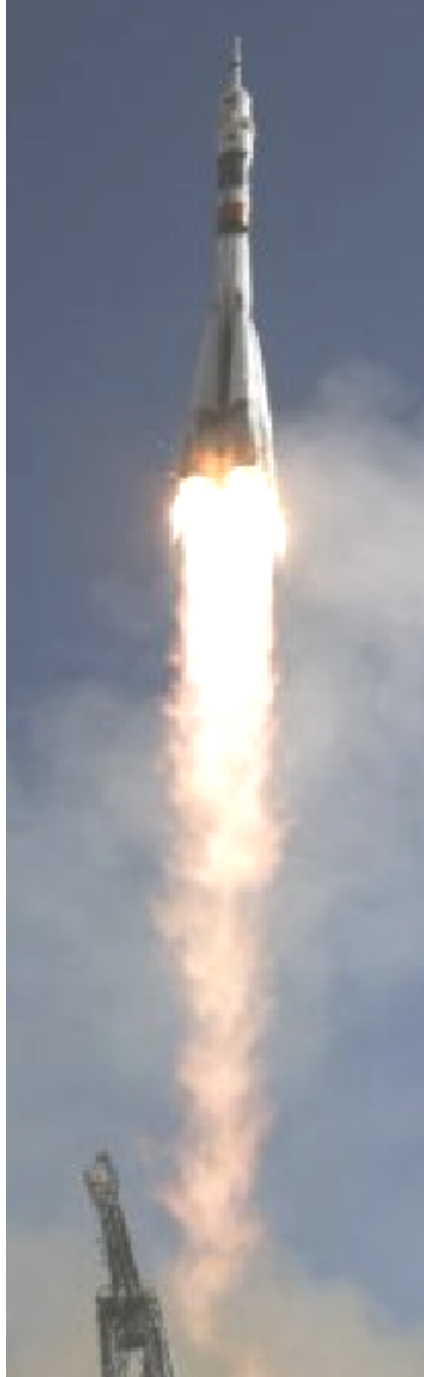
~ 750 scientifiques, 118 institutions
575 Physicien(ne)s & Thésard(e)s



LHCb



ALICE



Le LHC : la PHE en accélération

PbPb Physics Runs $\sqrt{s} = 2.8 \text{ TeV}$: $\sim 150 \mu\text{b}^{-1}/\text{exp.}$

pp Physics Runs $\sqrt{s} = 7 \text{ TeV}$: $\sim 5 \text{ fb}^{-1}/\text{exp.}$

EPS/LP 2011

↑ 2011

pp Physics Runs $\sqrt{s} = 7 \text{ TeV}$

$\mathcal{L} \sim 1\text{-}2 \text{ fb}^{-1} / \text{exp.}$

Quark Matter 2011

November – Décembre 2010

PbPb – Premiers runs Ions Lourds

Moriond 2011

↑ Juillet - Décembre 2010

pp Physics Runs $\sqrt{s} = 7 \text{ TeV}$

$\mathcal{L} \sim 35 \text{ pb}^{-1} / \text{exp.}$

ICHEP 2010

Avril - Juillet 2010

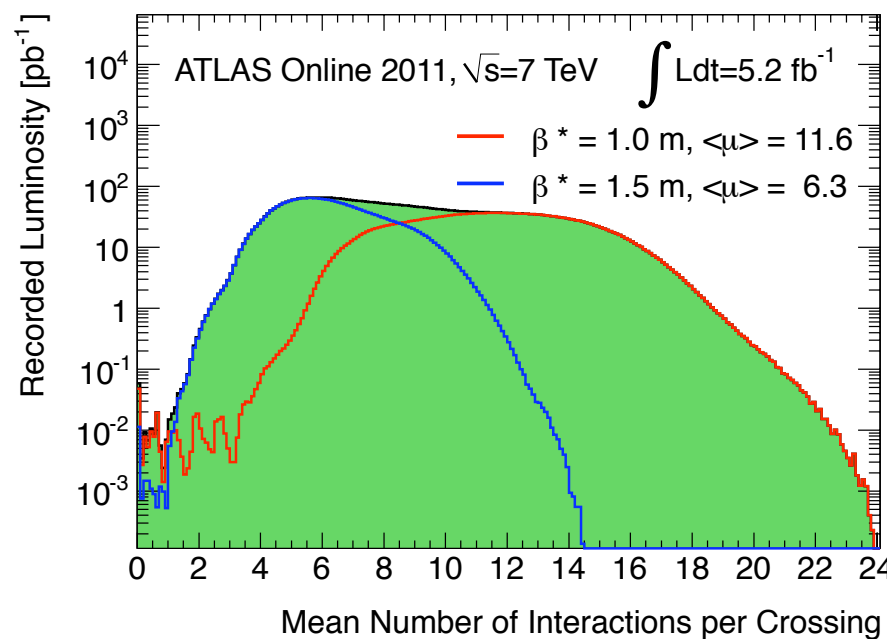
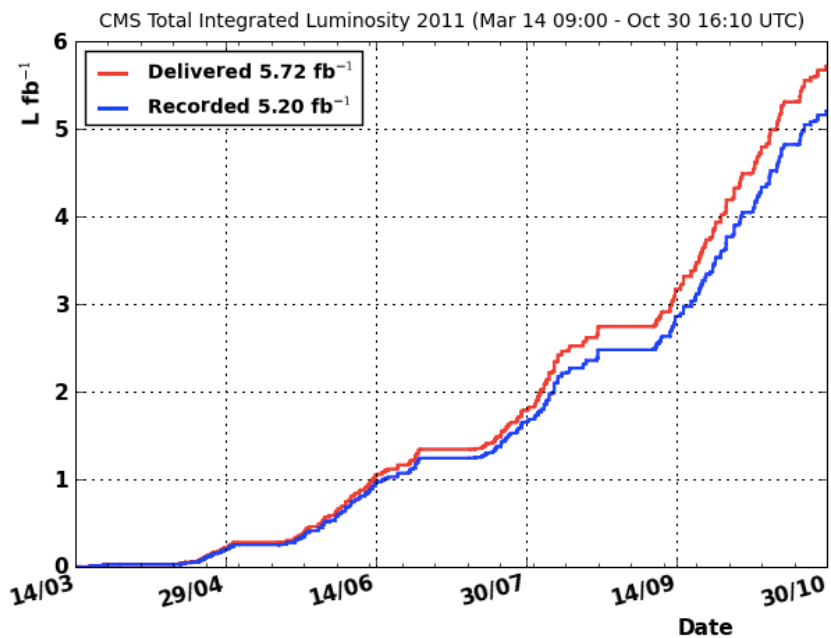
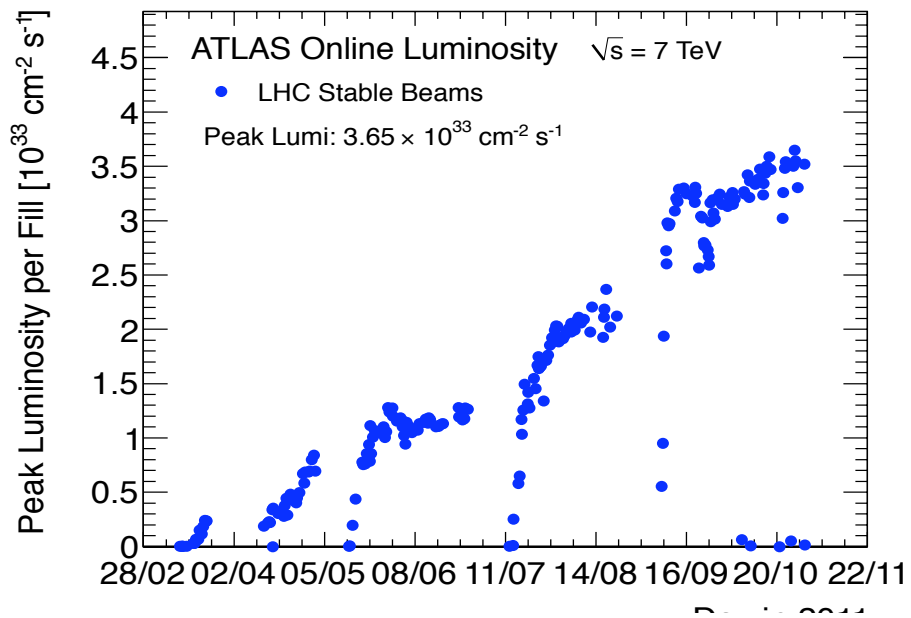
Start-up Runs $\sqrt{s} = 7 \text{ TeV}$

$\mathcal{L} \sim 3 \text{ pb}^{-1} / \text{exp.}$

↑ Décembre 2009

Pilot runs $\sqrt{s} = 0.9 \& 2.36 \text{ TeV}$

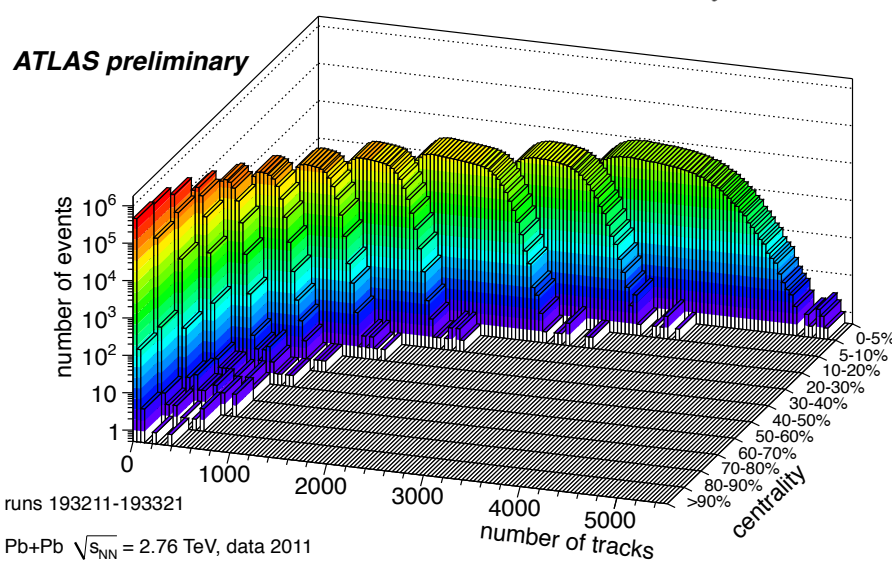
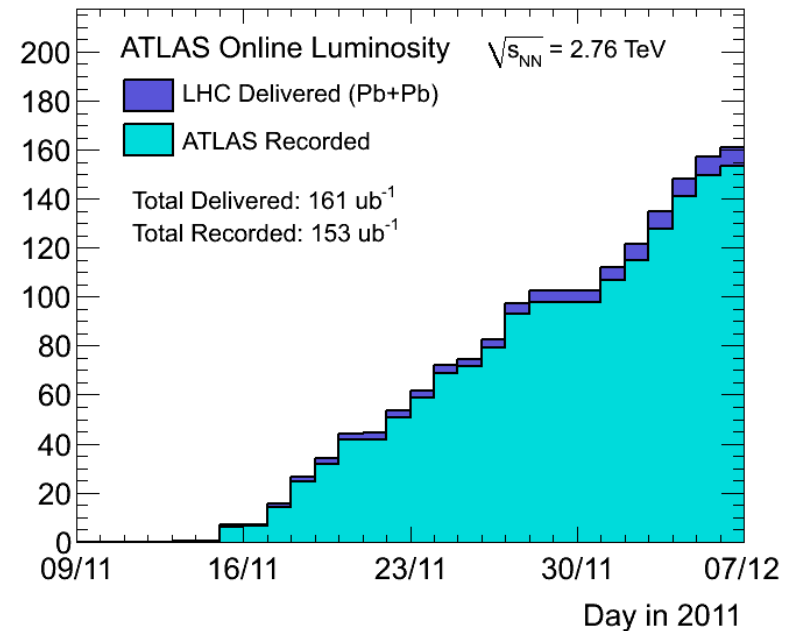
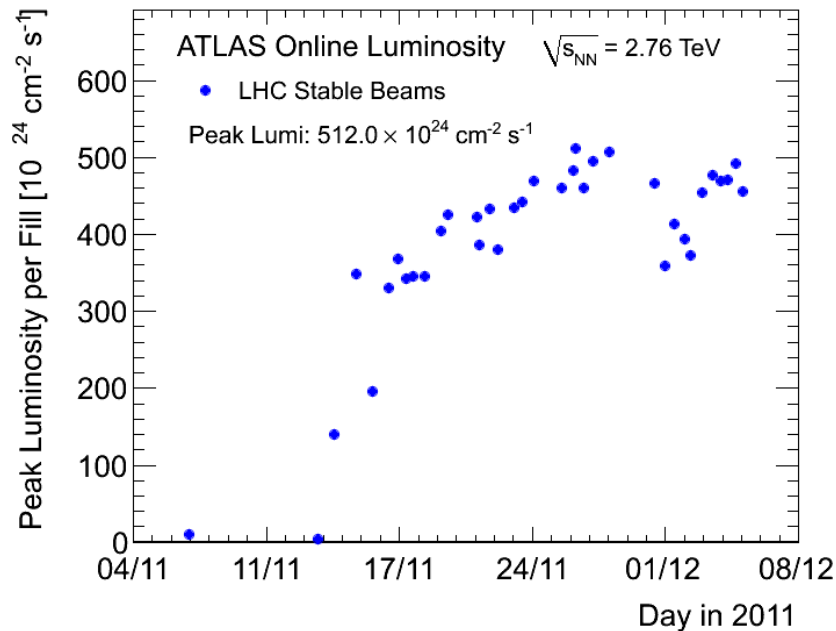
Collisions pp à $\sqrt{s} = 7$ TeV en 2011



L instantanée $\uparrow 3.6 \times 10^{33} \text{ cm}^{-2} \text{ s}^{-1}$
 L intégrée $> 5 \text{ fb}^{-1}$ / expérience
 Un nombre d'empilement très élevé !

$140 \times L_{2010}$!!!

Ions Lourds – Collisions PbPb en 2011



L instantanée $\uparrow 500 \times 10^{24} \text{ cm}^{-2} \text{ s}^{-1}$
 L intégrée $> 150 \mu\text{b}^{-1}$ / expérience

$15 \times L_{2010}$!!!

Bosons Z/W



- “Chandelles” - comprendre et calibrer le détecteur;
 $W \rightarrow l\nu$ et $Z \rightarrow l^+ l^-$ = états finaux les plus propres; $\uparrow S/\sqrt{B}$ avec \sqrt{s} déclenchement, mesure et identification des leptons, P_T^{miss} , etc.
- Référence ou bruit de fond dominant (e.g. $W + \text{jets}$, $Z + \text{jets}$) pour des recherches Higgs ou BSM \Rightarrow comparaison aux calculs de précision
 Ratios $[V+(n+1)/V+n]$ or $[W+n/Z+n]$ for n jets partially cancel uncertainties (\mathcal{L} , PDFs, ...);
 Incentive for considerable progress in techniques for NLO calculations;
 $V+QQ$ remain challenging for theoretical models
- Asymétrie $W^+/W^- \Rightarrow$ contrainte sur les fonctions de structure du proton

$$A_W = \frac{d\sigma/d\eta(\ell^+) - d\sigma/d\eta(\ell^-)}{d\sigma/d\eta(\ell^+) + d\sigma/d\eta(\ell^-)}$$

$$u + \bar{d} (\bar{s}) \rightarrow W^+$$

$$d + \bar{u} (\bar{c}) \rightarrow W^-$$
- Production de di-bosons \Rightarrow contrainte sur couplages trilinéaires (TGCs)
- Production de tri-bosons \Rightarrow contrainte sur couplages quadrilinéaires (QGCs)

Bosons Z/W

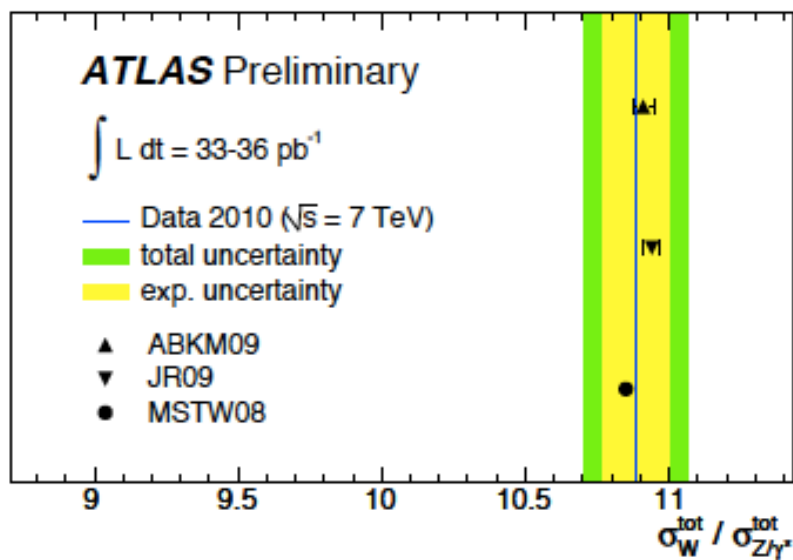
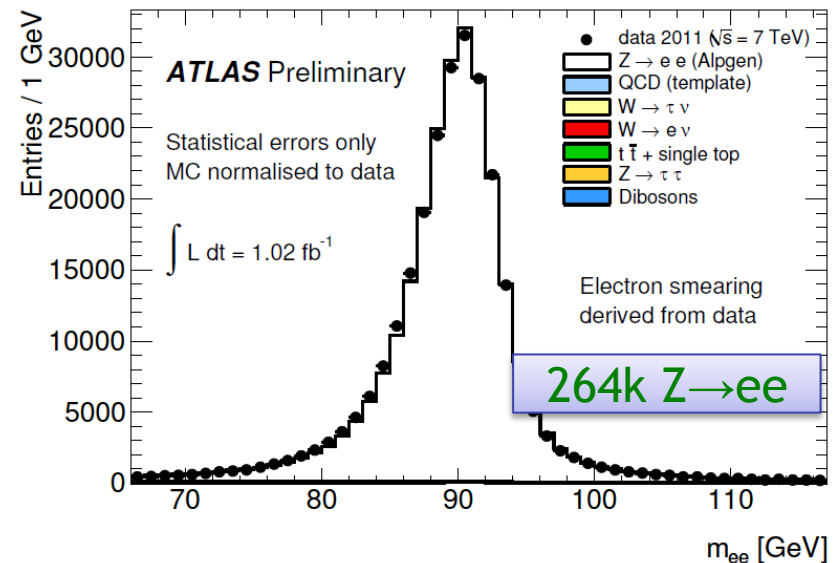
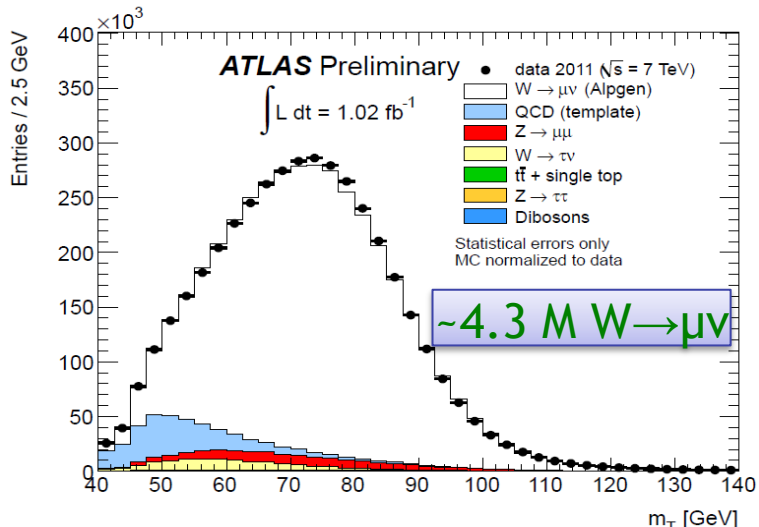
- “Chandelles” - comprendre et calibrer le détecteur;
 $W \rightarrow l\nu$ et $Z \rightarrow l^+ l^-$ = états finaux les plus propres; $\uparrow S/\sqrt{B}$ avec \sqrt{s}
 déclenchement, mesure et identification des leptons, P_T^{miss} , etc.
- Référence ou bruit de fond dominant (e.g. $W + \text{jets}$, $Z + \text{jets}$) pour
 des recherches Higgs ou BSM \Rightarrow comparaison aux calculs de précision
 Ratios $[V+(n+1)/V+n]$ or $[W+n/Z+n]$ for n jets partially cancel uncertainties (\mathcal{L} , PDFs, ...);
 Incentive for considerable progress in techniques for NLO calculations;
 $V+QQ$ remain challenging for theoretical models
- Asymétrie $W^+/W^- \Rightarrow$ contrainte sur les fonctions de structure du proton

$$A_W = \frac{d\sigma/d\eta(\ell^+) - d\sigma/d\eta(\ell^-)}{d\sigma/d\eta(\ell^+) + d\sigma/d\eta(\ell^-)}$$

$$u + \bar{d} (\bar{s}) \rightarrow W^+$$

$$d + \bar{u} (\bar{c}) \rightarrow W^-$$
- Production de di-bosons \Rightarrow contrainte sur couplages trilinéaires (TGCs)
- Production de tri-bosons \Rightarrow contrainte sur couplages quadrilinéaires (QGCs)

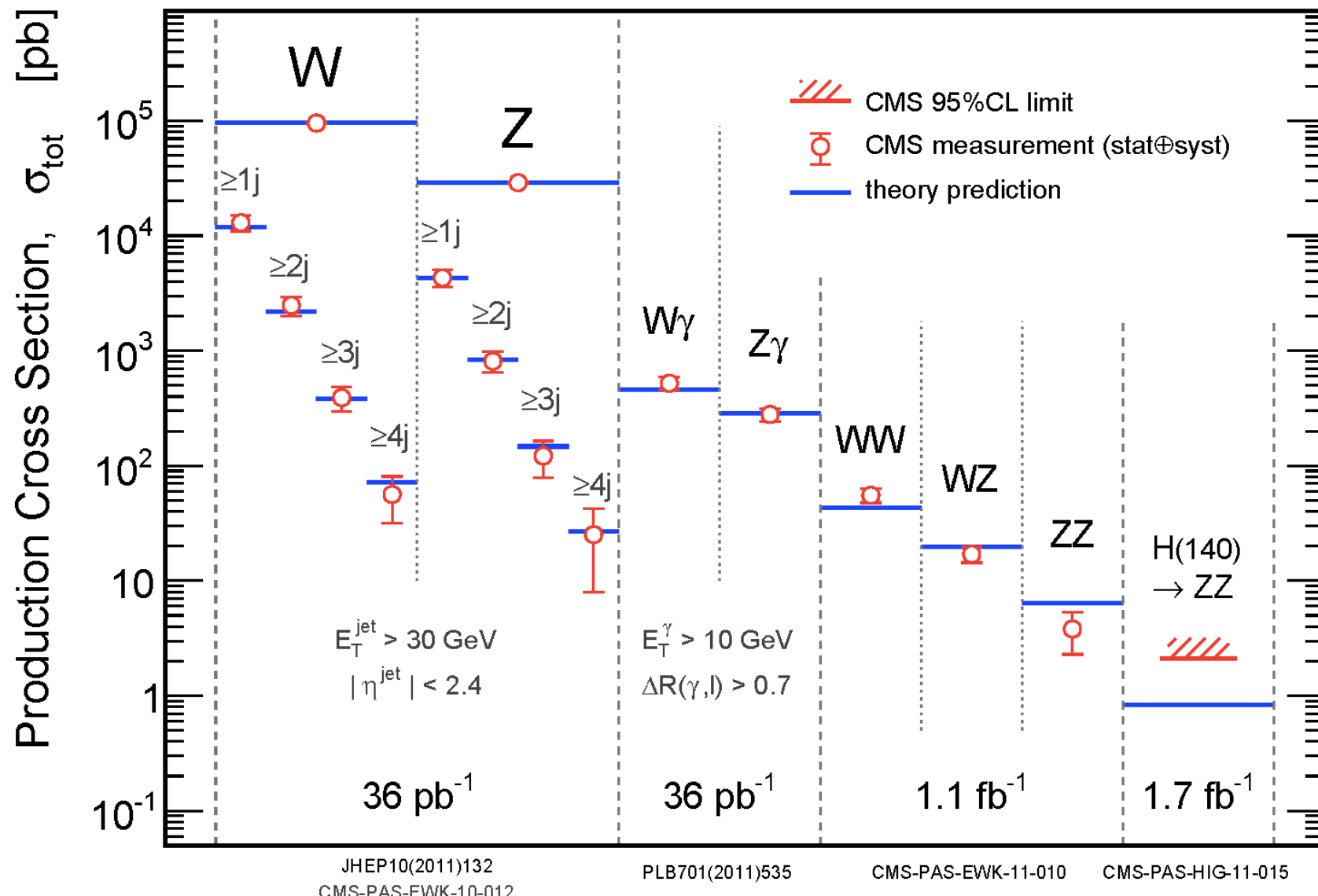
Production W/Z



- Excellent accord entre les données et la simulation
- Bon accord avec les prédictions théoriques (NNLO+PDD_F)
- Move to “new environment”:
 - $\sigma(W^+) \neq \sigma(W^-)$ (~ 1.4)
 - W polarization

Weak Boson Production

CMS



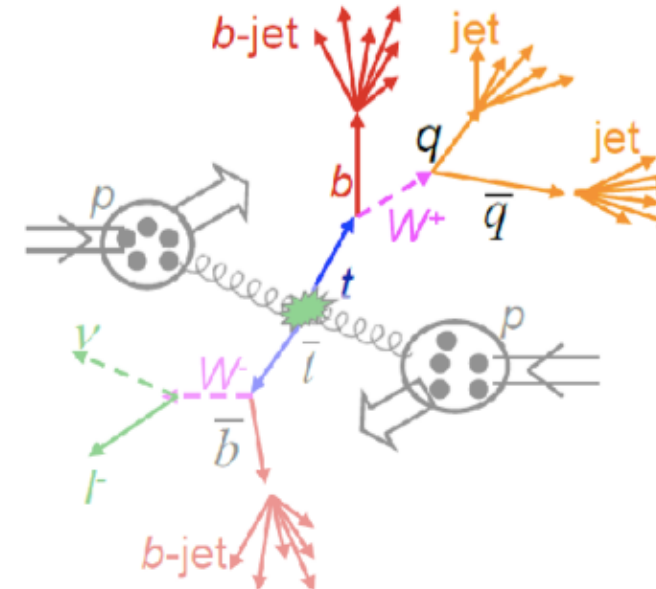
Quark Top

- Particule la plus lourde,
masse "naturelle" ($\lambda_t \approx 1$)
**Pourrait jouer un rôle particulier
dans la brisure de symétrie électrofaible ?**
- Se désintègre avant hadronisation
($\tau_t \approx 5 \times 10^{-25} \text{ s} \ll \Lambda_{\text{QCD}}^{-1}$)
Mesure directe de la masse par les produits de désintégrations (= $m_{\text{pôle}}$?)
- Production et désintégration du quark top = sensible à la nouvelle physique (nouveaux couplages, Z' « top-philic », violation de la conservation de la saveur)
- Mesures de précisions: m_{top} , Q_{top} , Γ_{top} , $|V_{tb}|$, $\Delta m (t - \bar{t})$, polarisation

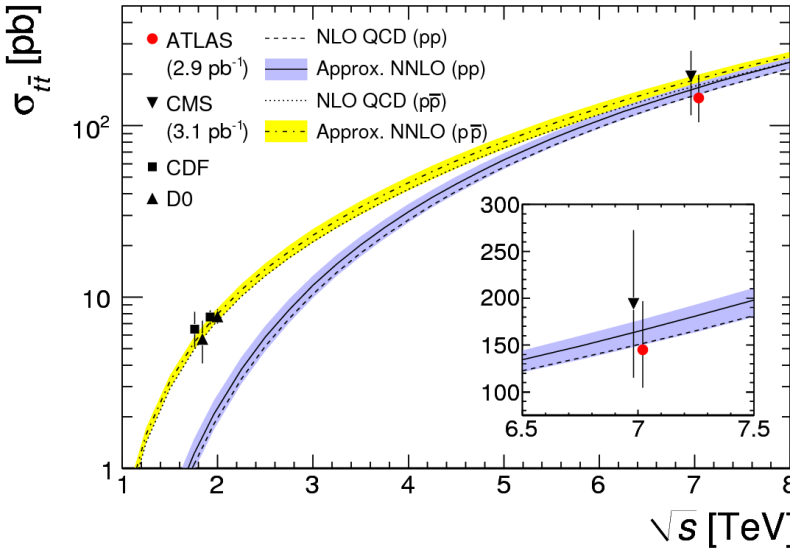
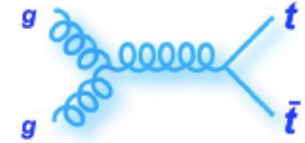


Quark Top

- Particule la plus lourde,
masse "naturelle" ($\lambda_t \approx 1$)
**Pourrait jouer un rôle particulier
dans la brisure de symétrie électrofaible ?**
- Se désintègre avant hadronisation
($\tau_t \approx 5 \times 10^{-25} \text{ s} \ll \Lambda_{\text{QCD}}^{-1}$)
Mesure directe de la masse par les produits de désintégrations (= $m_{\text{pôle}}$?)
- Production et désintégration du quark top = sensible à la nouvelle physique (nouveaux couplages, Z' « top-philic », violation de la conservation de la saveur)
- Mesures de précisions: m_{top} , Q_{top} , Γ_{top} , $|V_{tb}|$, $\Delta m (t - \bar{t})$, polarisation



Top Pair Production Cross-Section



Précision ~ 8%
(syst. Limited)

Sensibilité à diverses
approximations à
l'ordre NNLO !!!

CMS Preliminary, $\sqrt{s}=7$ TeV

HCP2011 (Paris)

CMS 2011 combination
TOP-11-024 ($L=0.8\text{-}1.1/\text{fb}$)

CMS e/ μ +jets+btag
TOP-11-003 ($L=0.8\text{-}1.1/\text{fb}$)

CMS dilepton (ee, $\mu\mu$, e μ)
TOP-11-005 ($L=1.1/\text{fb}$)

CMS all-hadronic
TOP-11-007 ($L=1.1/\text{fb}$)

CMS dilepton ($\mu\tau$)
TOP-11-006 ($L=1.1/\text{fb}$)

$166 \pm 2 \pm 11 \pm 8$
(val. ± stat. ± syst. ± lumi.)

$164 \pm 3 \pm 12 \pm 7$
(val. ± stat. ± syst. ± lumi.)

$170 \pm 4 \pm 16 \pm 8$
(val. ± stat. ± syst. ± lum)

$136 \pm 20 \pm 40 \pm 8$
(val. ± stat. ± syst. ± lumi.)

$149 \pm 24 \pm 26 \pm 9$
(val. ± stat. ± syst. ± lumi.)

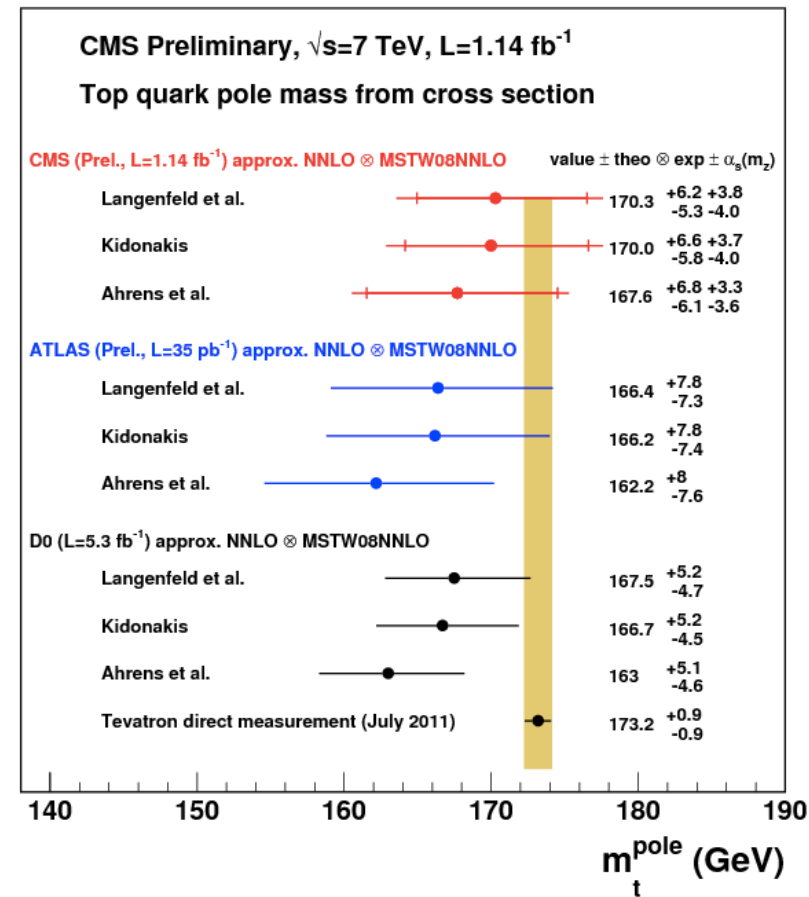
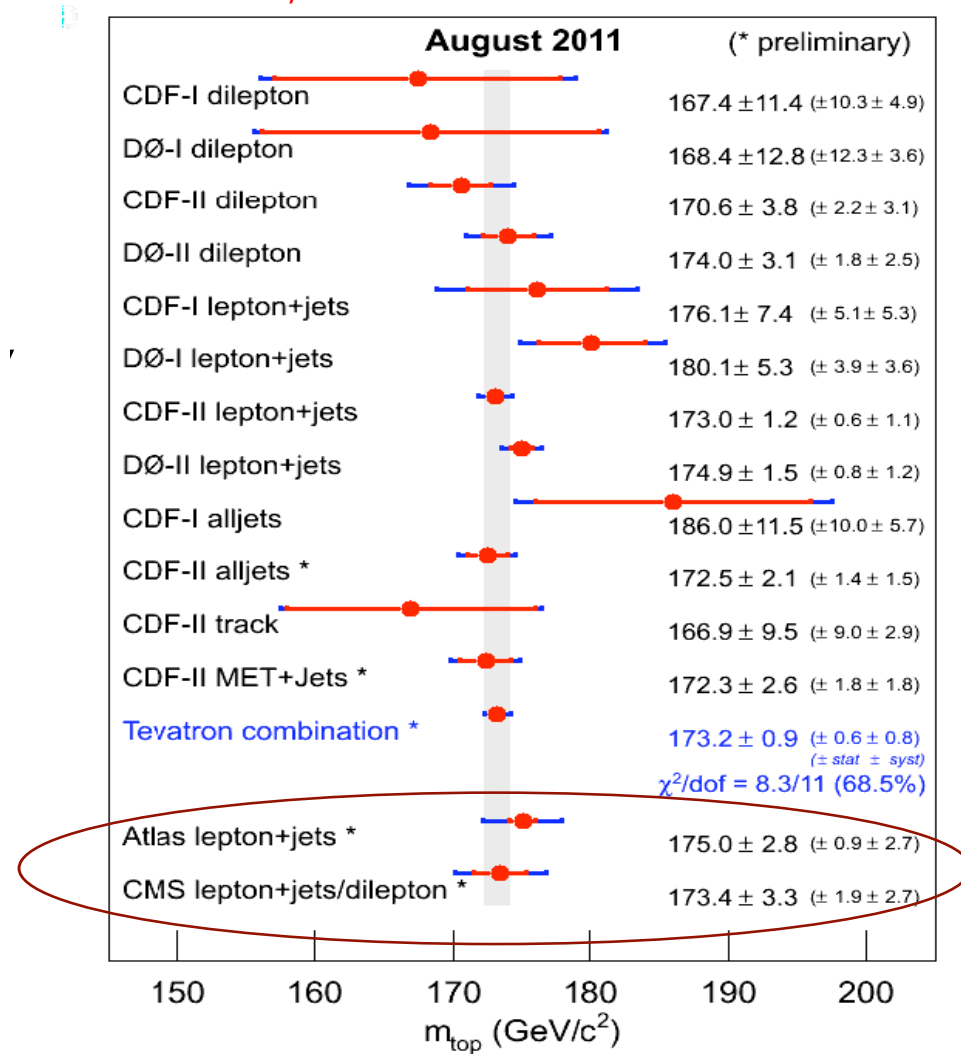
- Approx. NNLO QCD, Aliev et al., Comput.Phys.Commun. 182 (2011) 1034
- Approx. NNLO QCD, Kidonakis, Phys.Rev.D 82 (2010) 114030
- Approx. NNLO QCD, Ahrens et al., JHEP 1009 (2010) 097
- NLO QCD



Top Mass

Mesure directe:

M. Galinaro, TOP2011



Brisure de la Symétrie Electrofaible

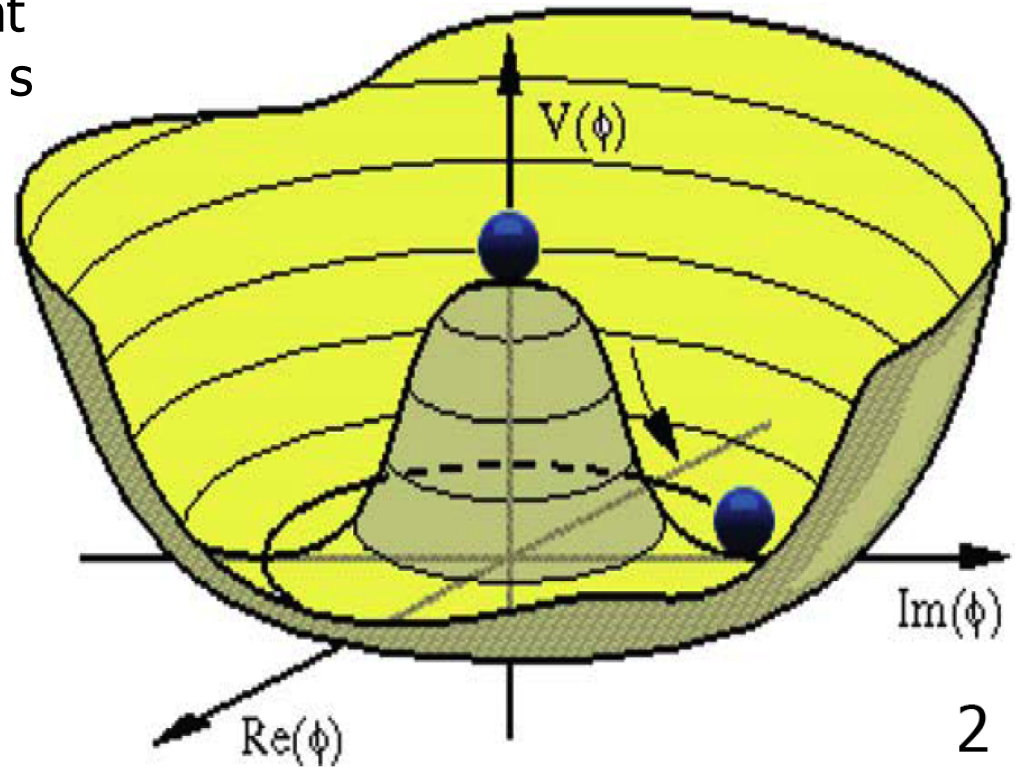
Il existe un champ scalaire présent dans tout l'univers, apparu $\sim 10^{-12}$ s après le Big Bang

Ce champ est responsable de la brisure spontanée de la symétrie électrofaible

Les bosons Z^0 et W^\pm acquièrent une masse

Les fermions élémentaires interagissent et acquièrent une masse
(i.e. les composantes gauches et droites se mélagent !)

Il doit exister au moins un boson scalaire associé au champ,
le boson de Higgs



Le Boson de Higgs

Recall: 1 doublet de champs de Higgs \Rightarrow 1 boson physique (CP-pair)
 M_H est un paramètre libre ... $M_H^2 = 2\lambda v^2$; $v \sim 246$ GeV

Theory Constraints:

Unitarity:

$$M_H < 700 - 800 \text{ GeV}/c^2$$

“Triviality” (Higgs self-coupling remains finite :)

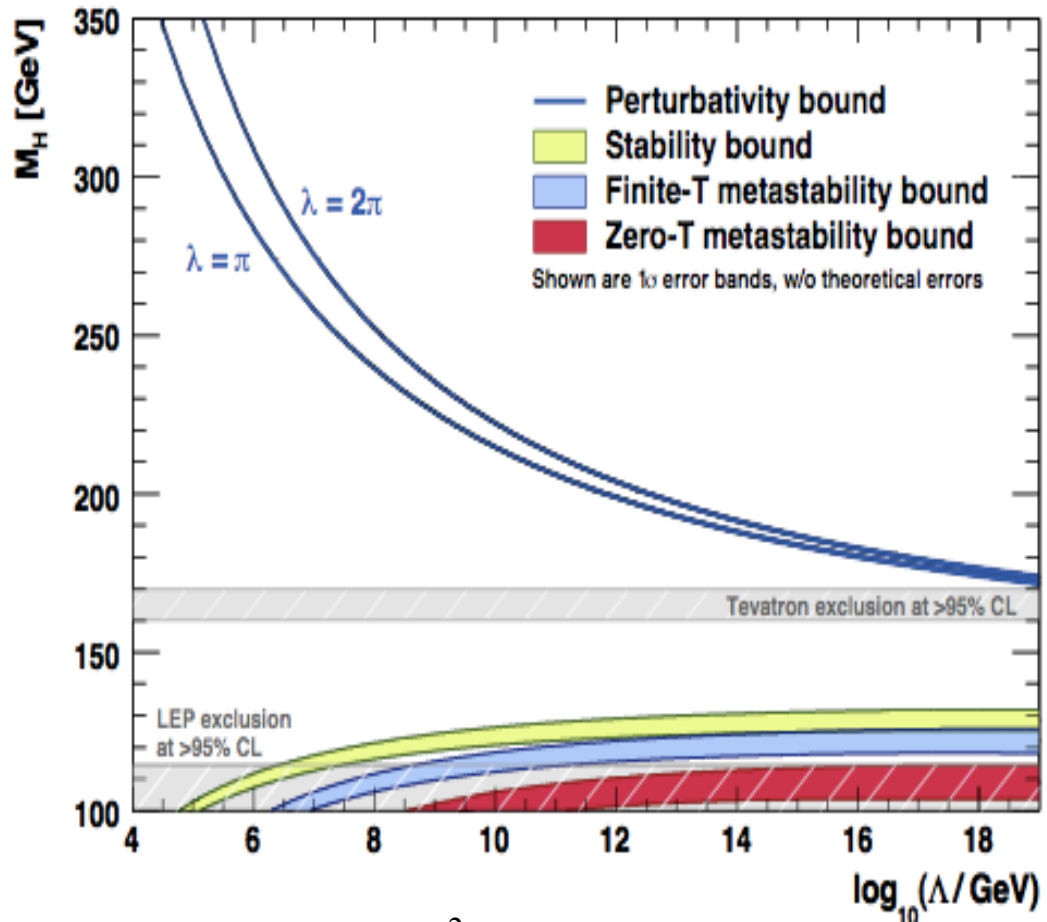
$$M_H^2 < \frac{4\pi^2 v^2}{3\ln(\Lambda/v)}$$

“Stability” of vacuum:

$$M_H^2 > \frac{4m_t^4}{\pi^2 v^2} \ln(\Lambda/v)$$

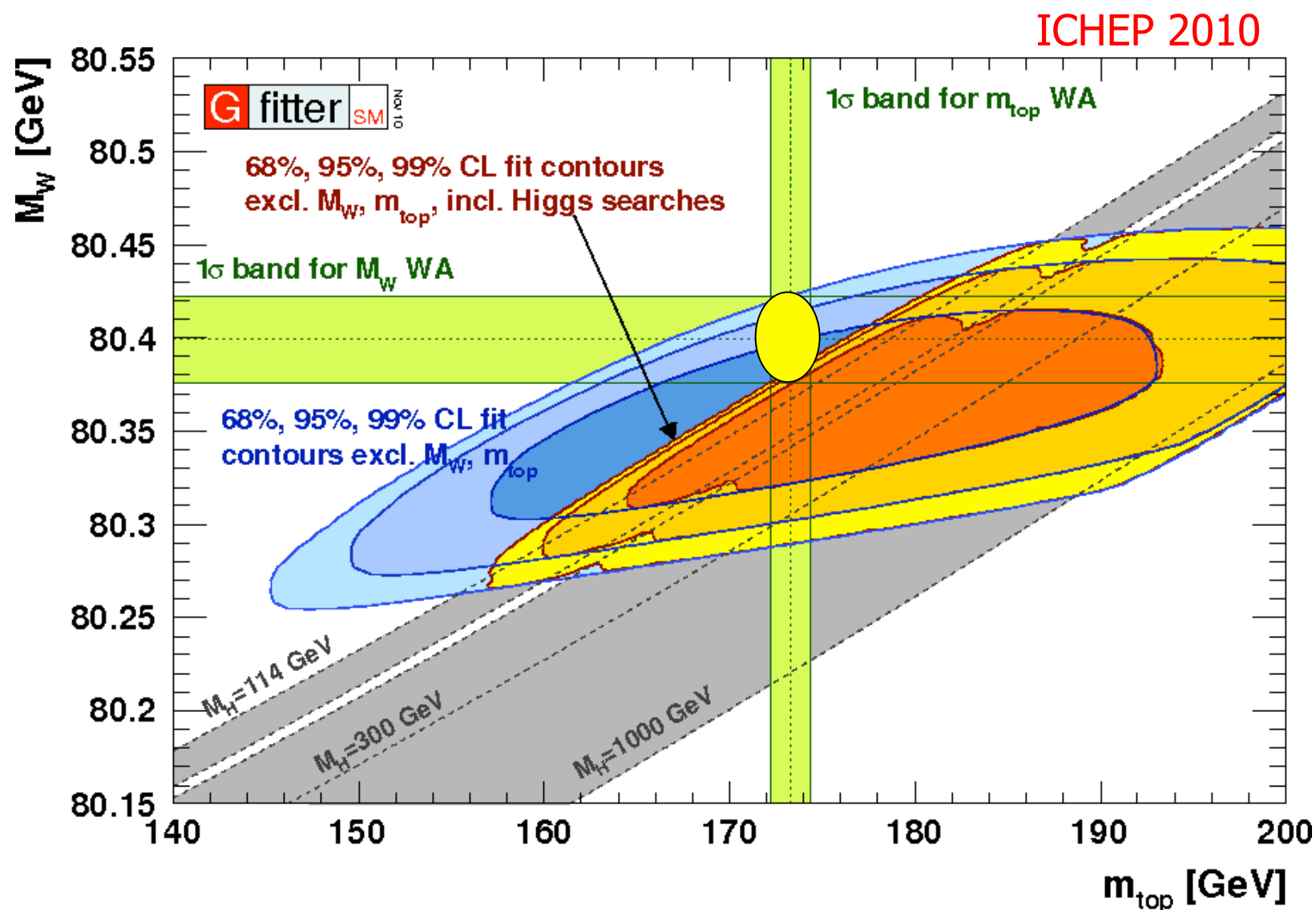
Λ = cut-off scale

Caution: quadratic divergencies

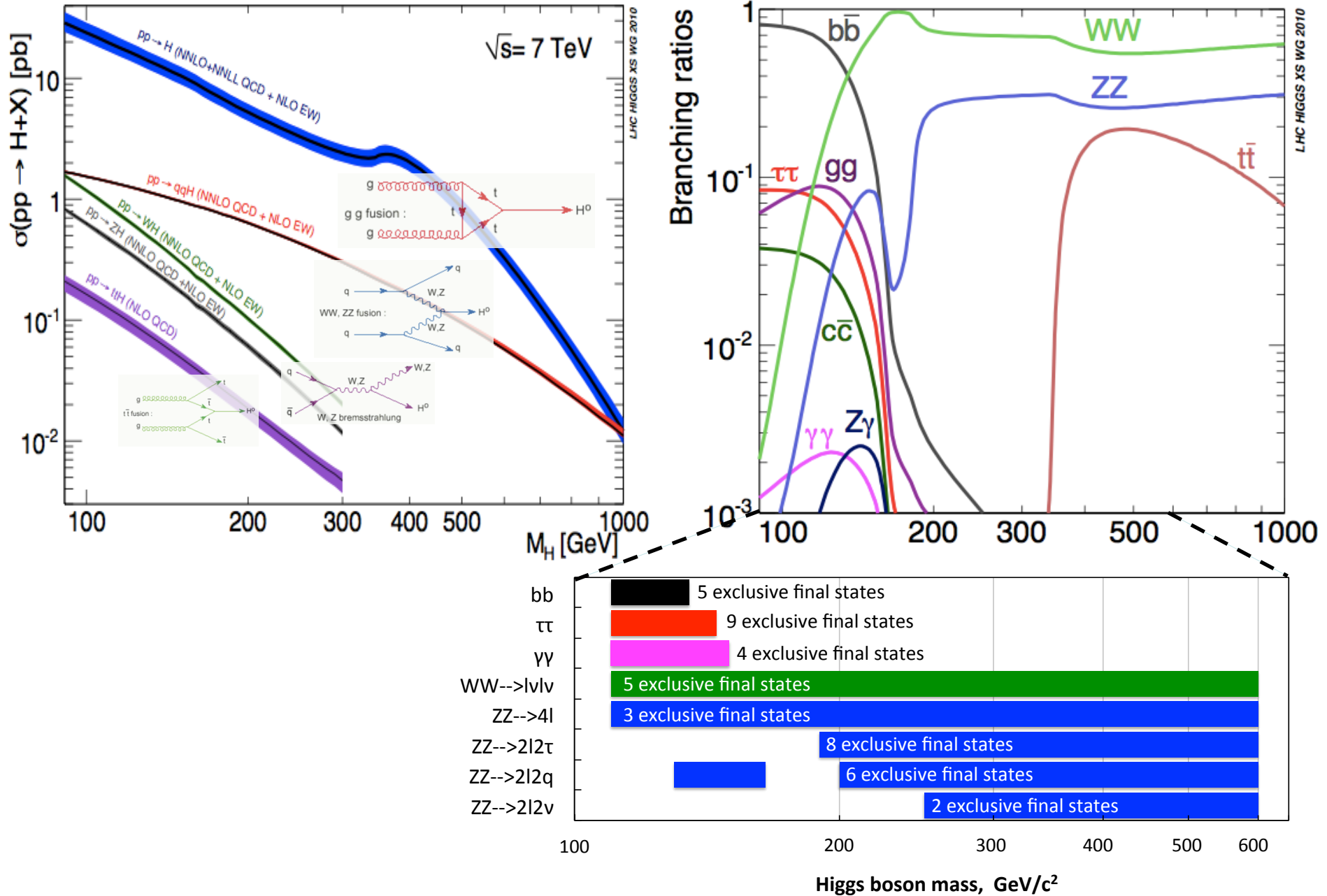


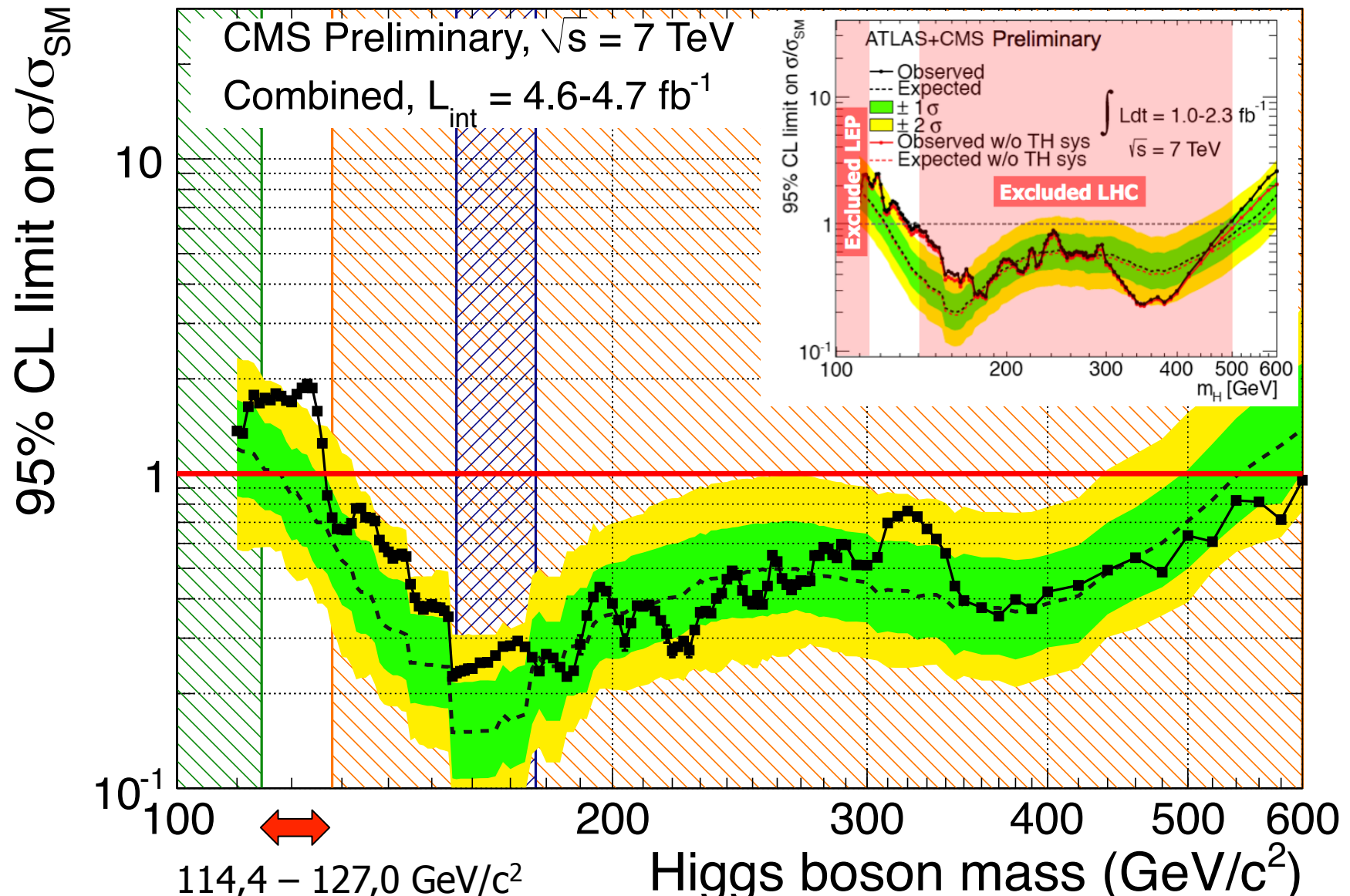
$$m^2 = m_0^2 + \alpha \lambda \frac{\Lambda^2}{16\pi^2}$$

Ajustement EW et contraintes de masse

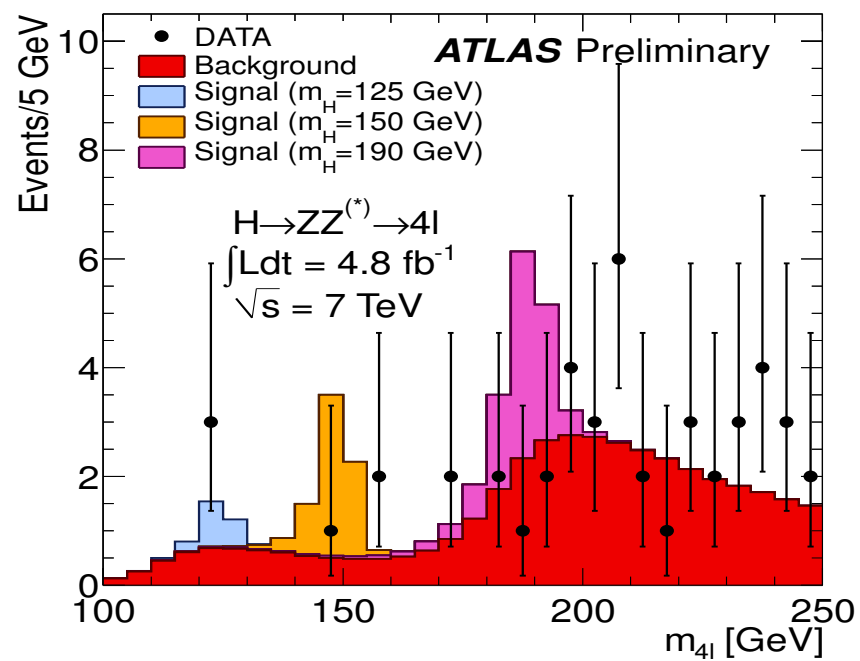
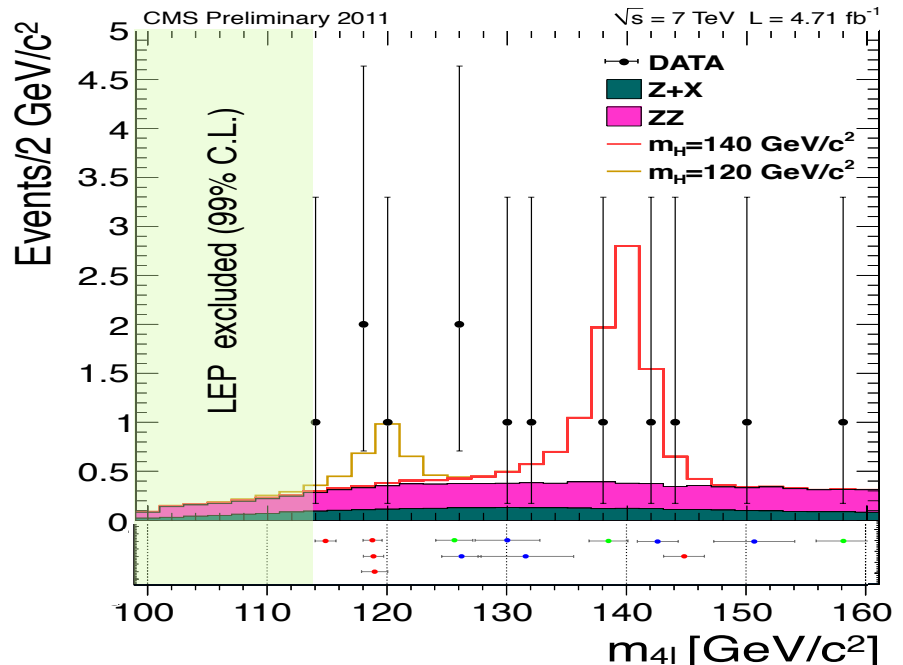
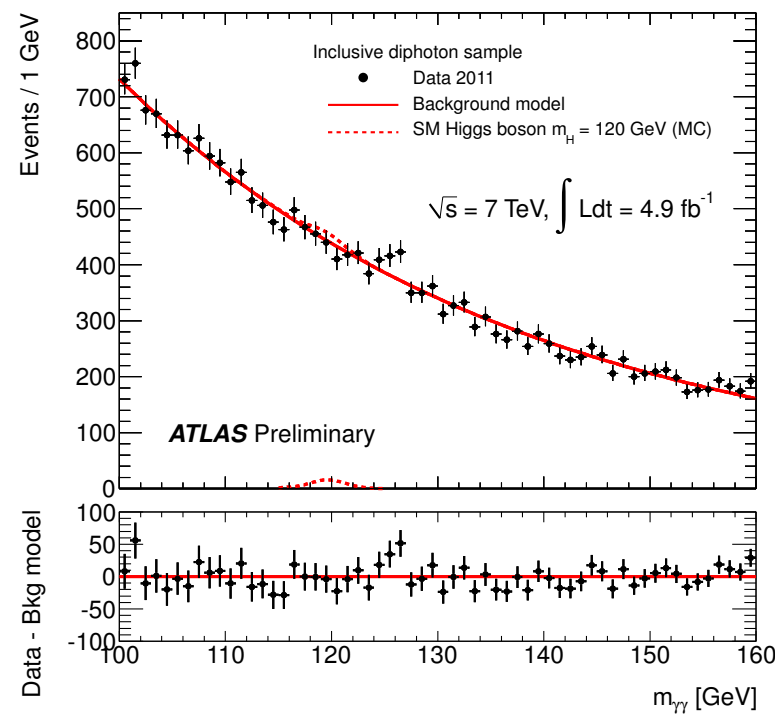
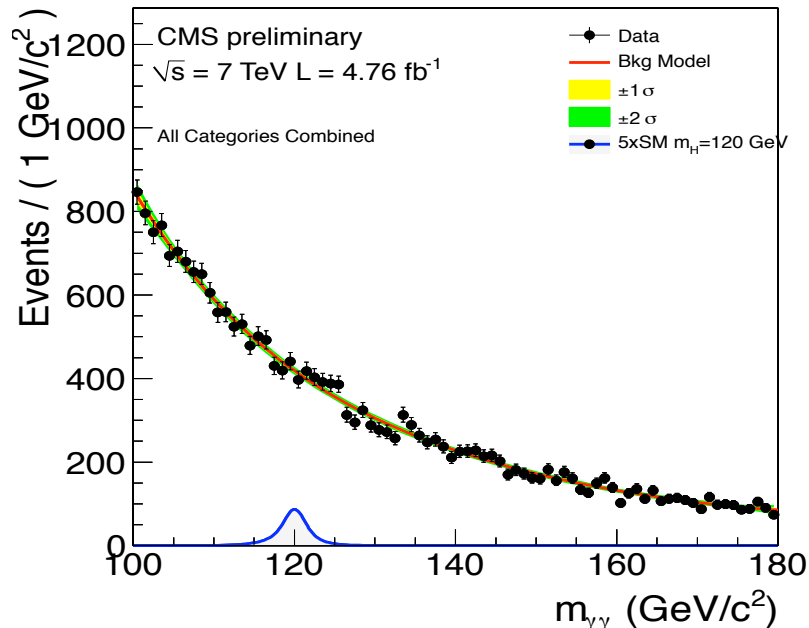


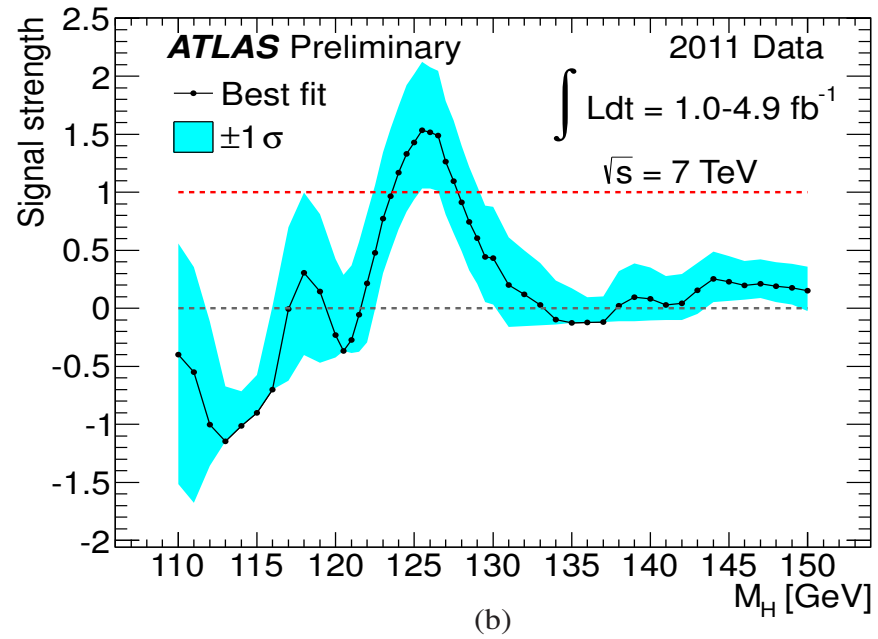
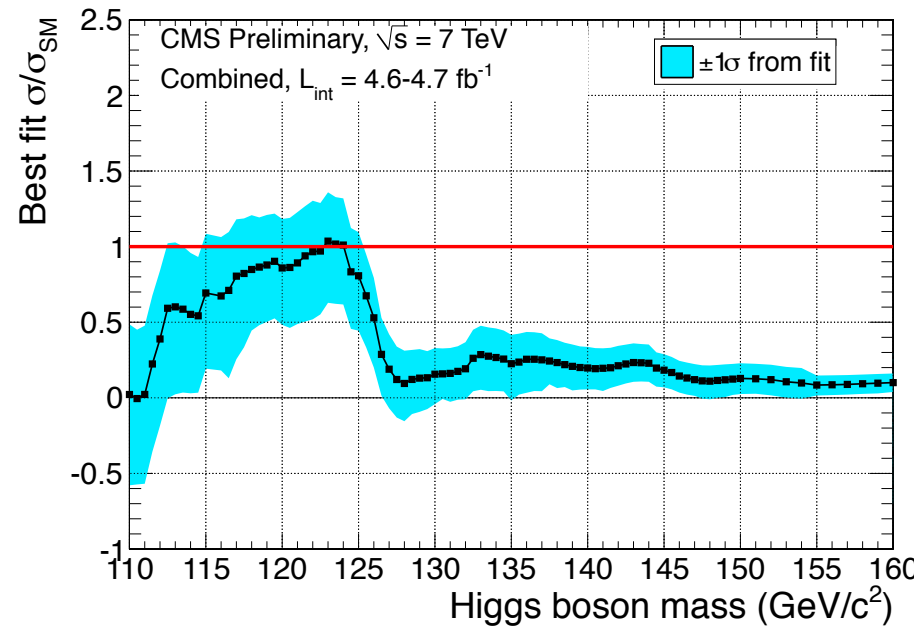
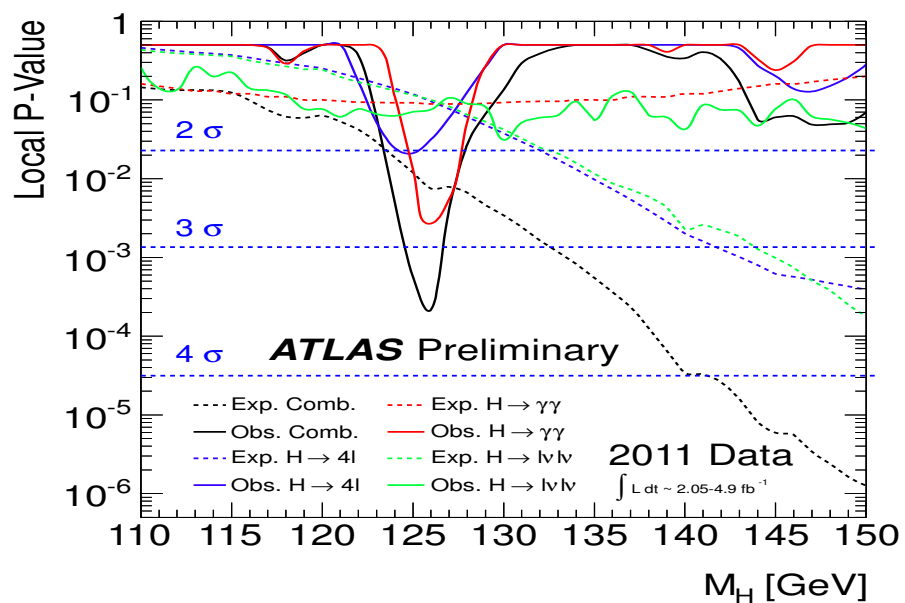
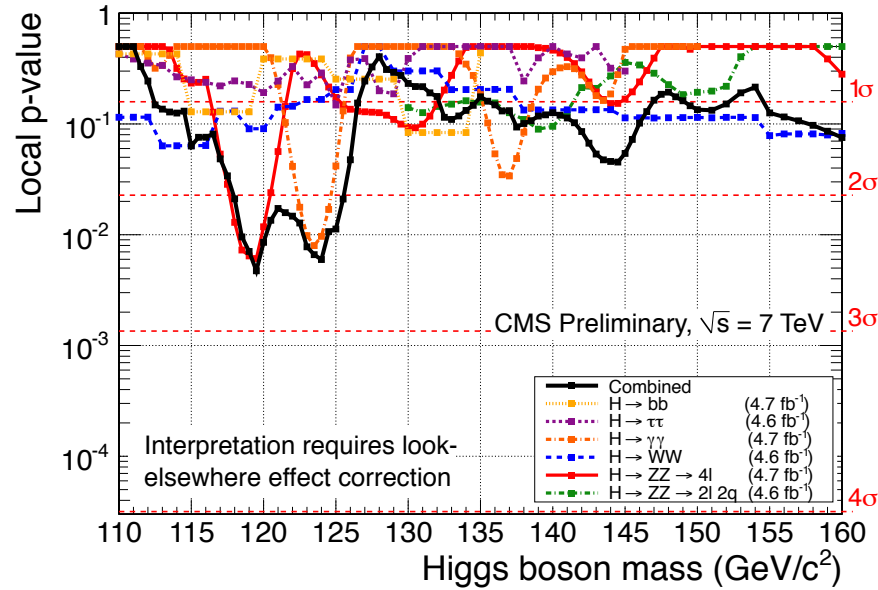
Boson de Higgs: Production et désintégration

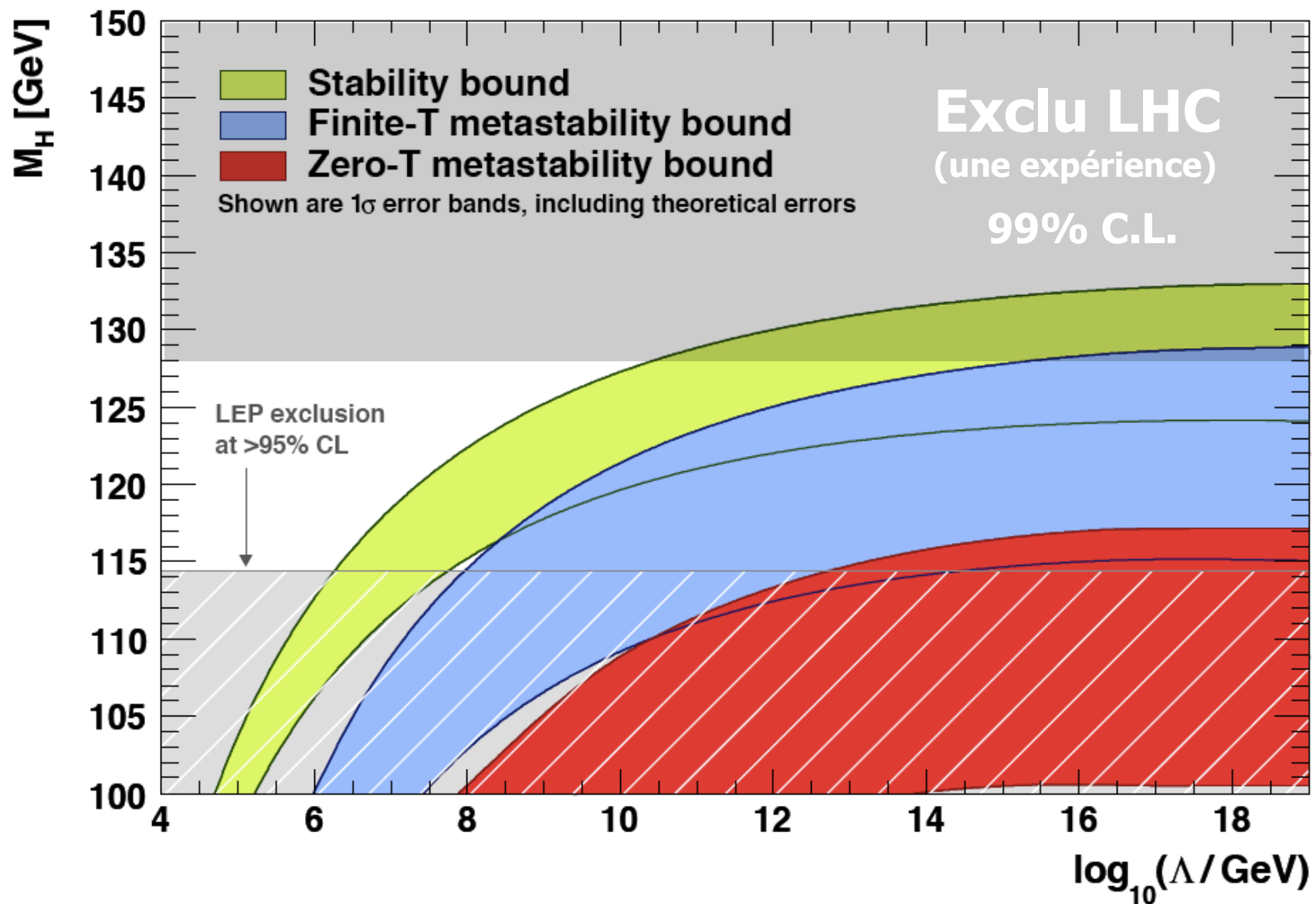




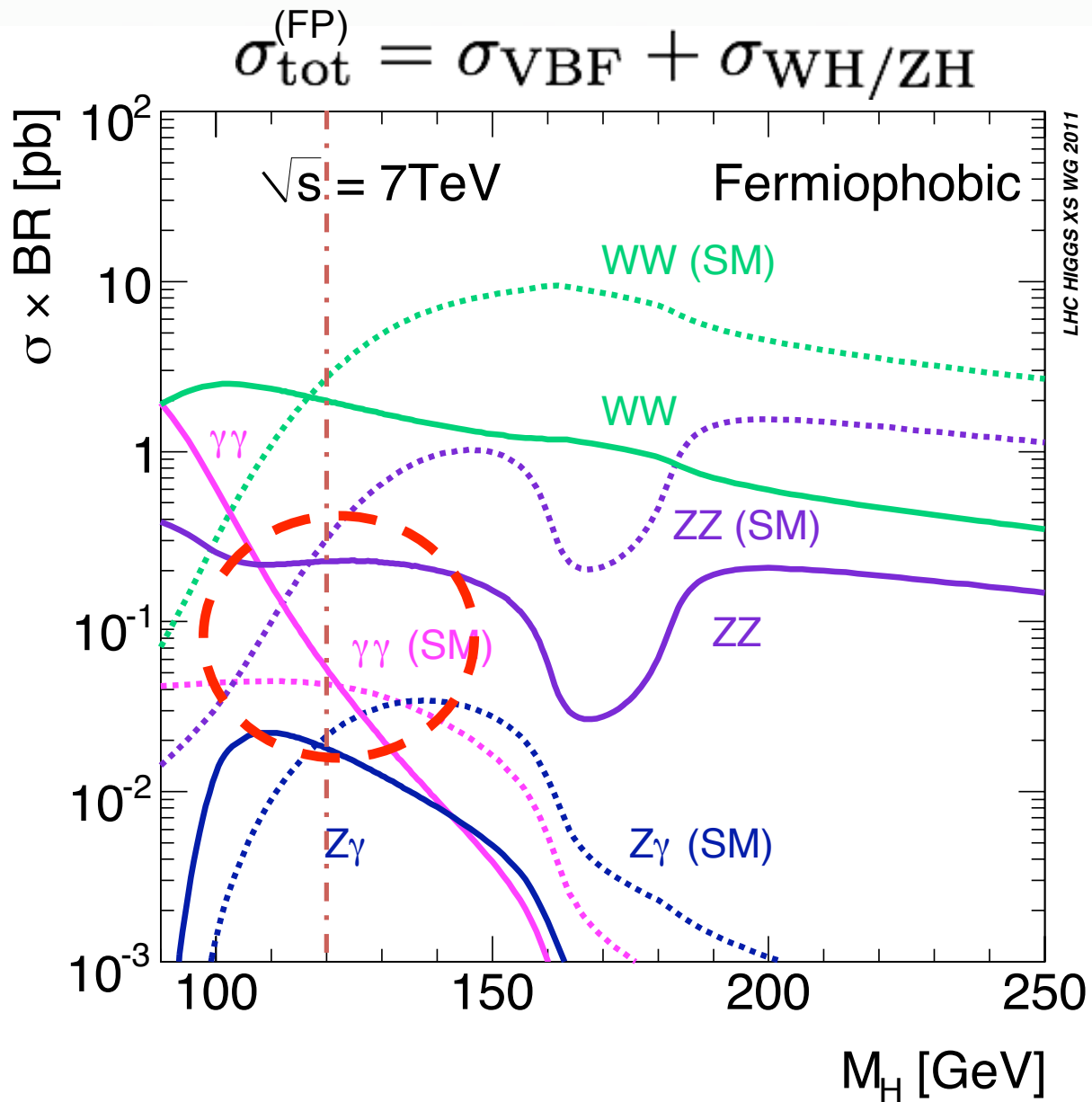
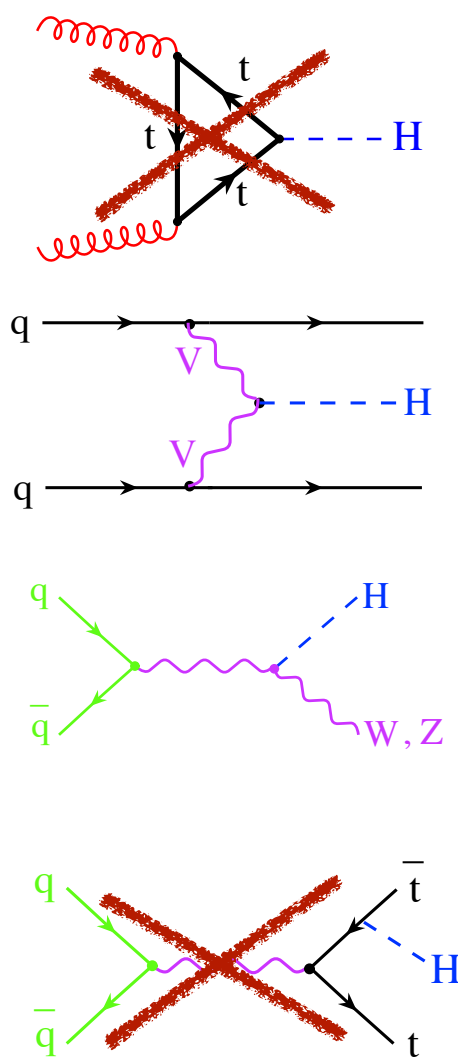
Zone permise pour le boson de Higgs du modèle standard





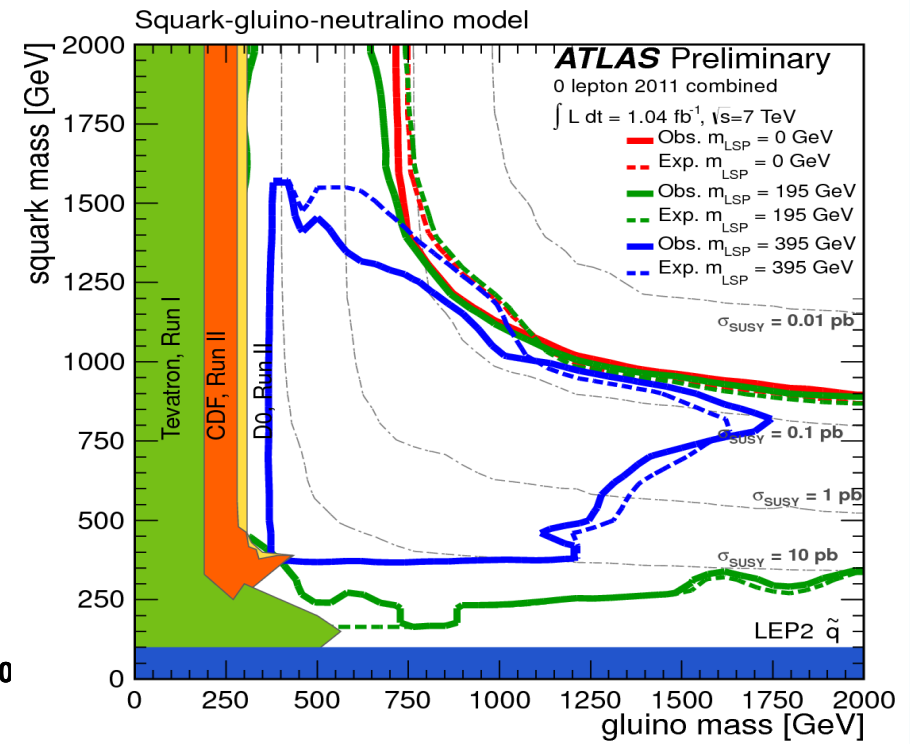
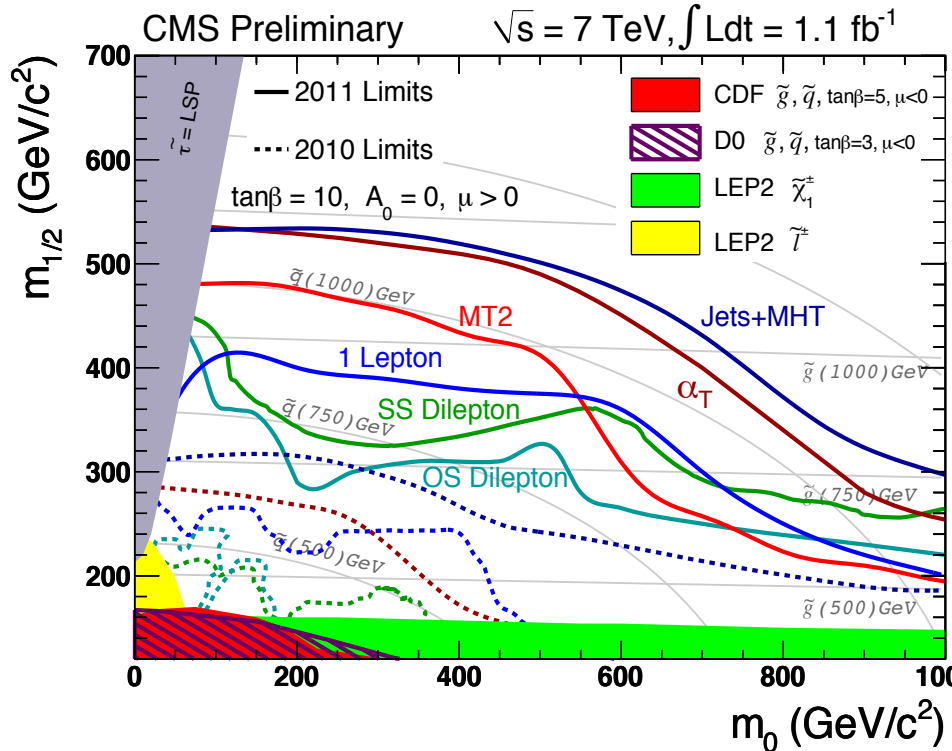


Modèle Standard ou Fermiophobique ?



Au-delà du modèle Standard ?

e.g. Supersymétrie

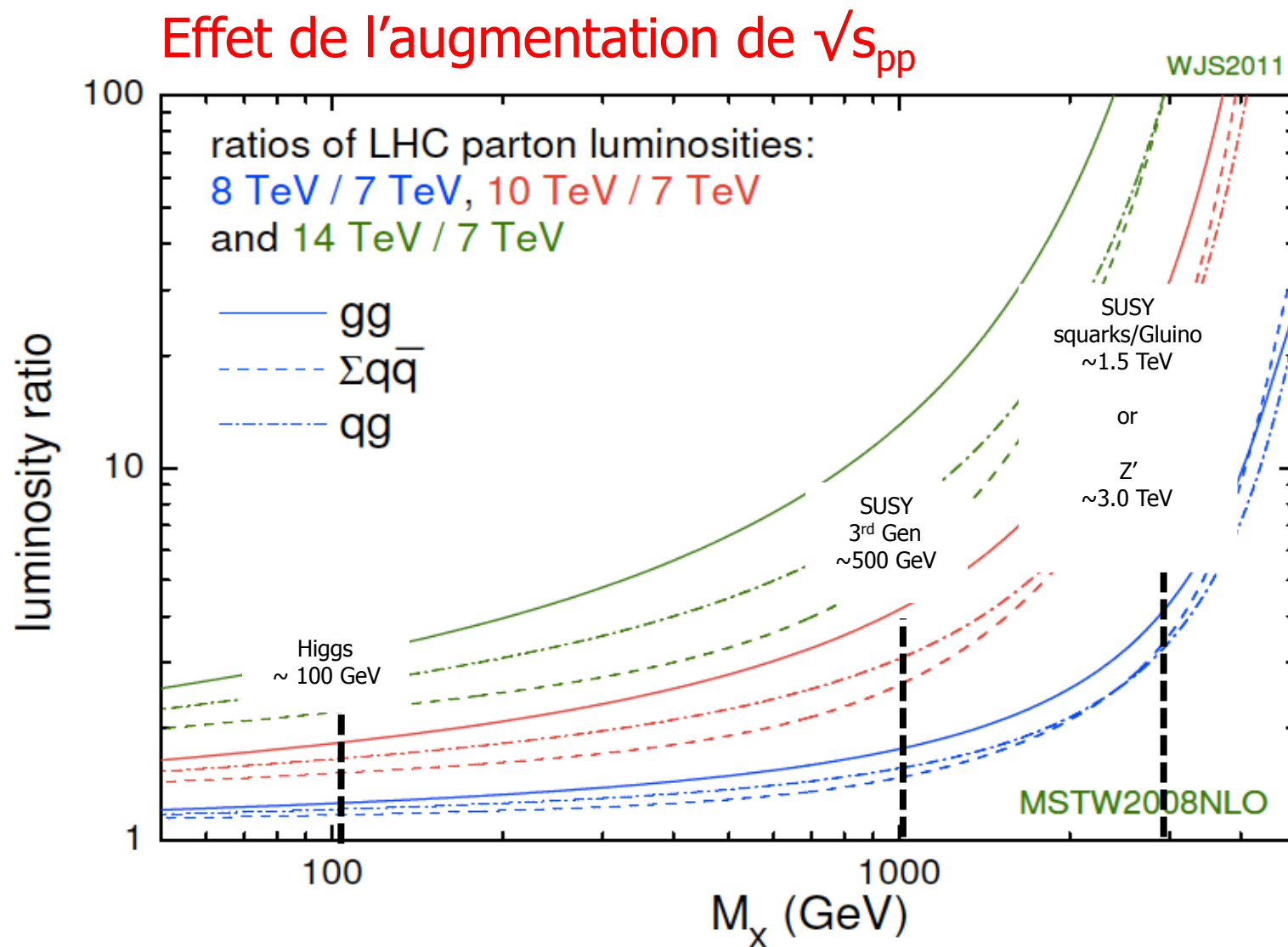


Exclusion jusqu'au $\sim \text{TeV}$ des squarks et des gluinos

e.g. Recherche de résonances au TeV (di-leptons, di-jets)

Exclusion Graviton RS ($\sim 2 \text{ TeV}$), CI ($\sim 10 \text{ TeV}$),
 Z'_{SSM} ou W'_{SSM} ($\sim 2 \text{ TeV}$), etc.

Ce n'est que le début de l'aventure ...

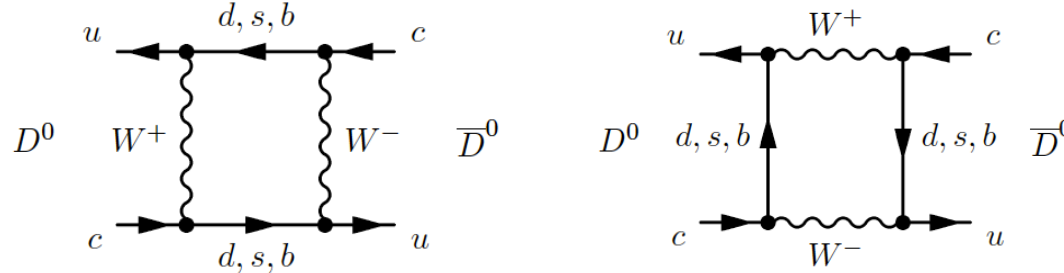


Désintégration du quark charmé

1^{ière} évidence de violation CP en désintégration



- Intérêt augmenté depuis l'observation du mélange D^0



- La physique « charmée » conserve CP au premier ordre

Triangle d'unitarité pour le charm

$$V_{ud}V_{cd}^* + V_{us}V_{cs}^* + V_{ub}V_{cb}^* = 0$$

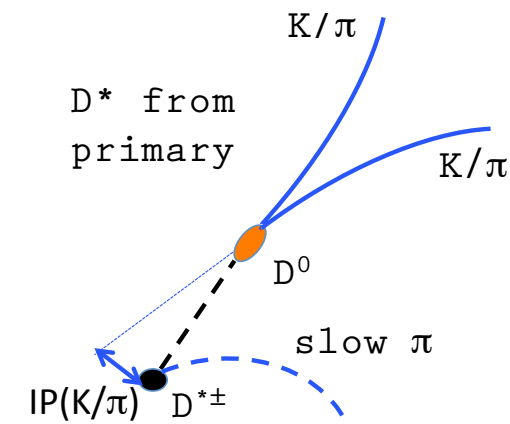
$$\sim \lambda \quad \sim \lambda \quad \sim \lambda^5$$

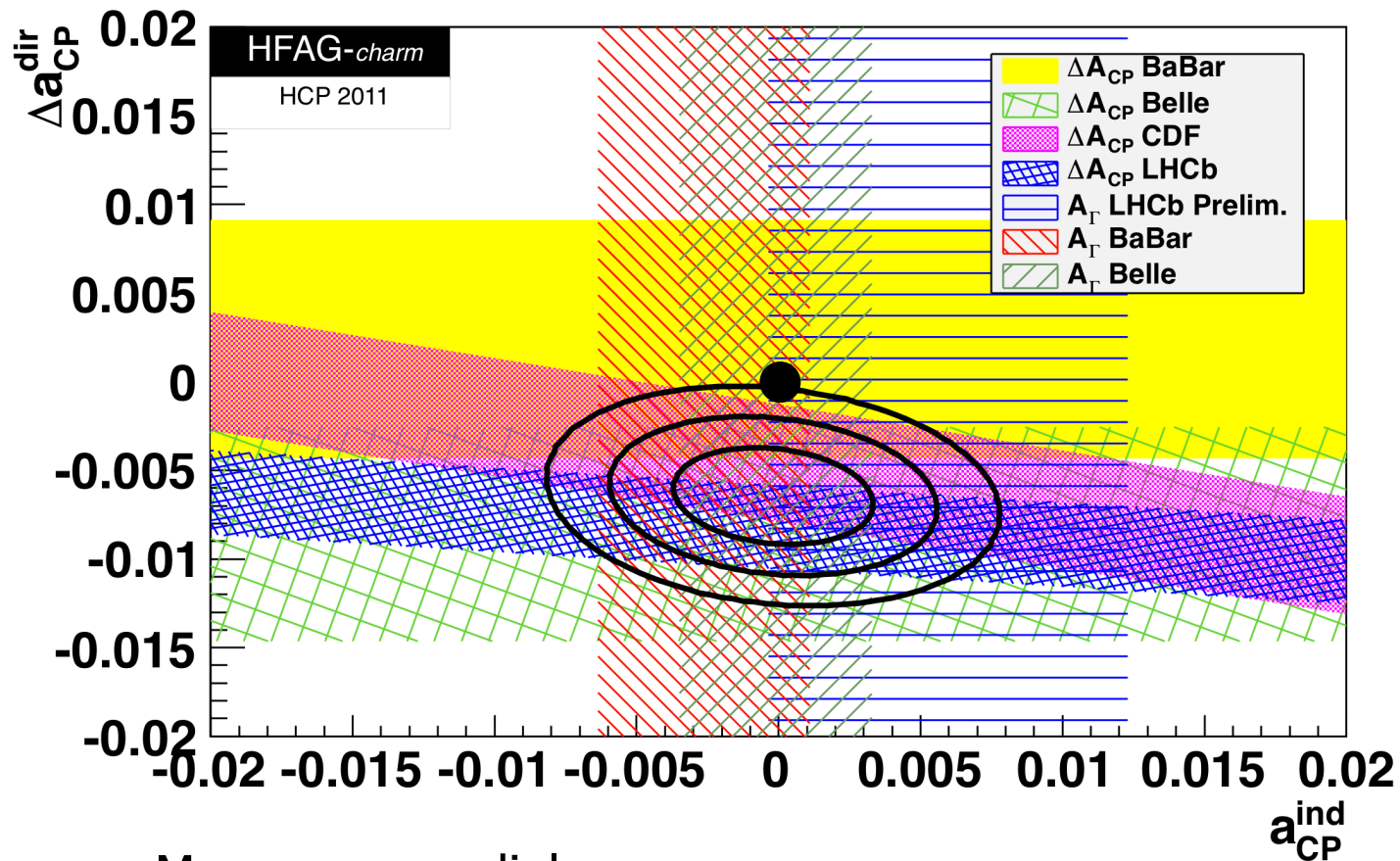
- La physique au-delà du modèle standard peut augmenter la sensibilité des observables de la violation CP

⇒ Recherche « directe » via

$$A_{CP}(f) = \frac{\Gamma(D^0 \rightarrow f) - \Gamma(\bar{D}^0 \rightarrow f)}{\Gamma(D^0 \rightarrow f) + \Gamma(\bar{D}^0 \rightarrow f)}$$

↔ KK or $\pi\pi$





Moyenne mondiale:

$$a_{CP}^{ind} = (-0.02 \pm 0.23)\% \quad \Delta a_{CP}^{dir} = (-0.65 \pm 0.18)\%$$

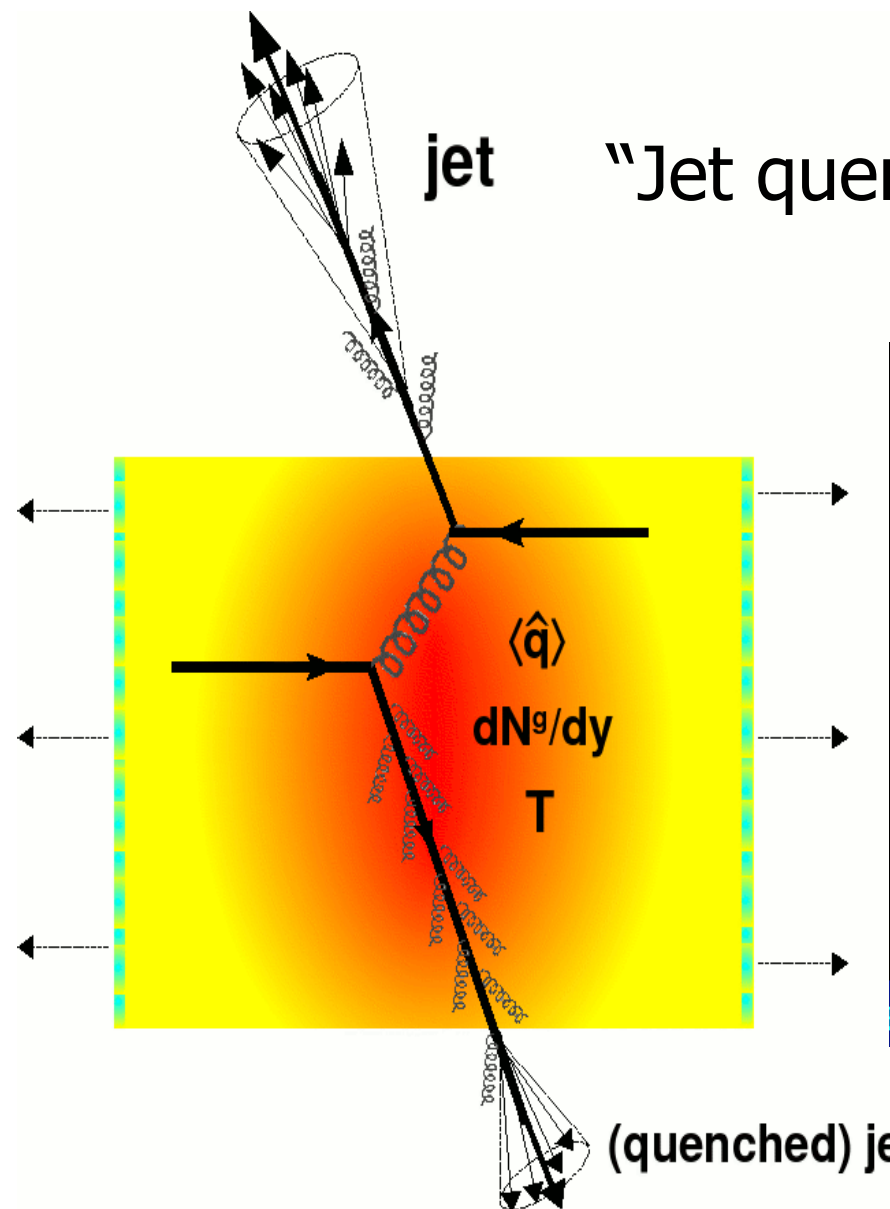
Résultat LHCb:

$$\Delta A_{CP} = [-0.82 \pm 0.21(\text{stat.}) \pm 0.11(\text{sys.})] \%$$

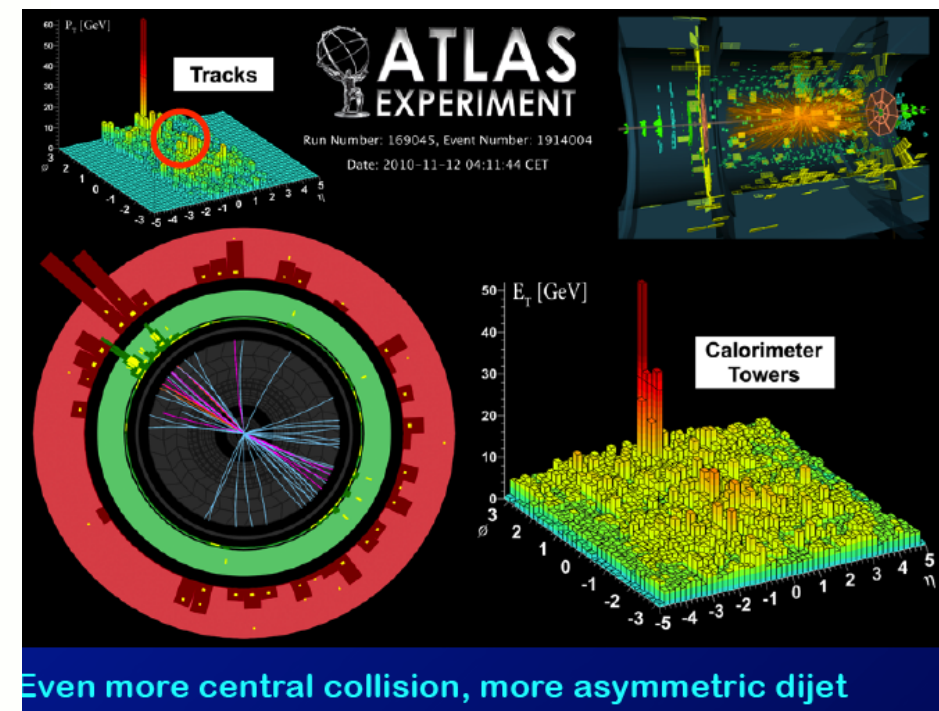
Significance: 3.5 σ

Ions Lourds

Tous Forts



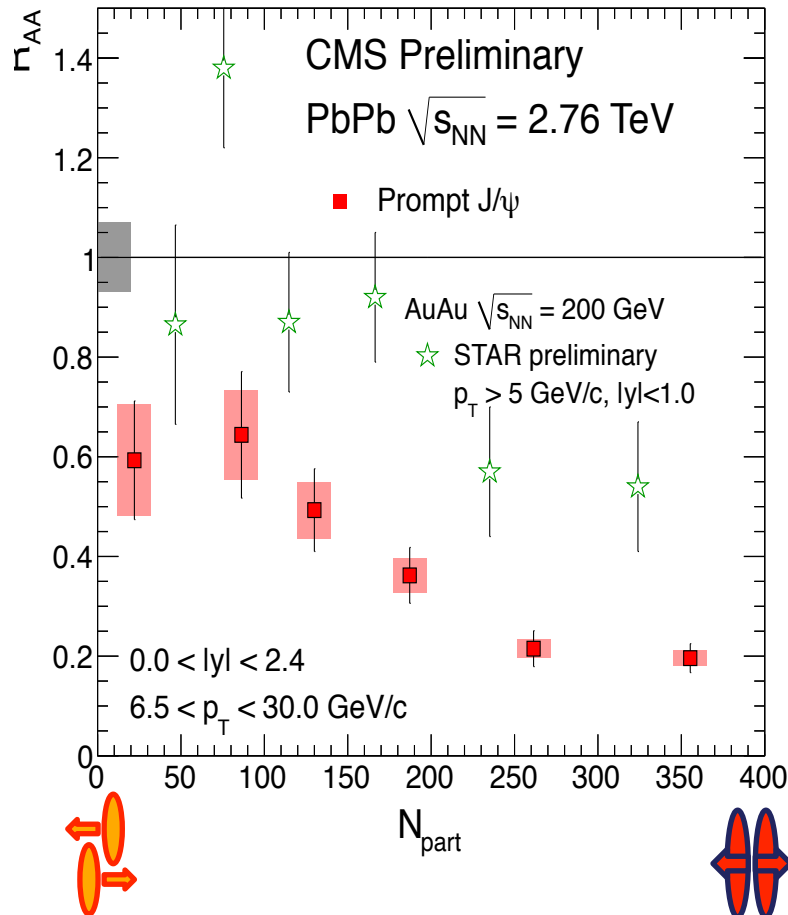
"Jet quenching"



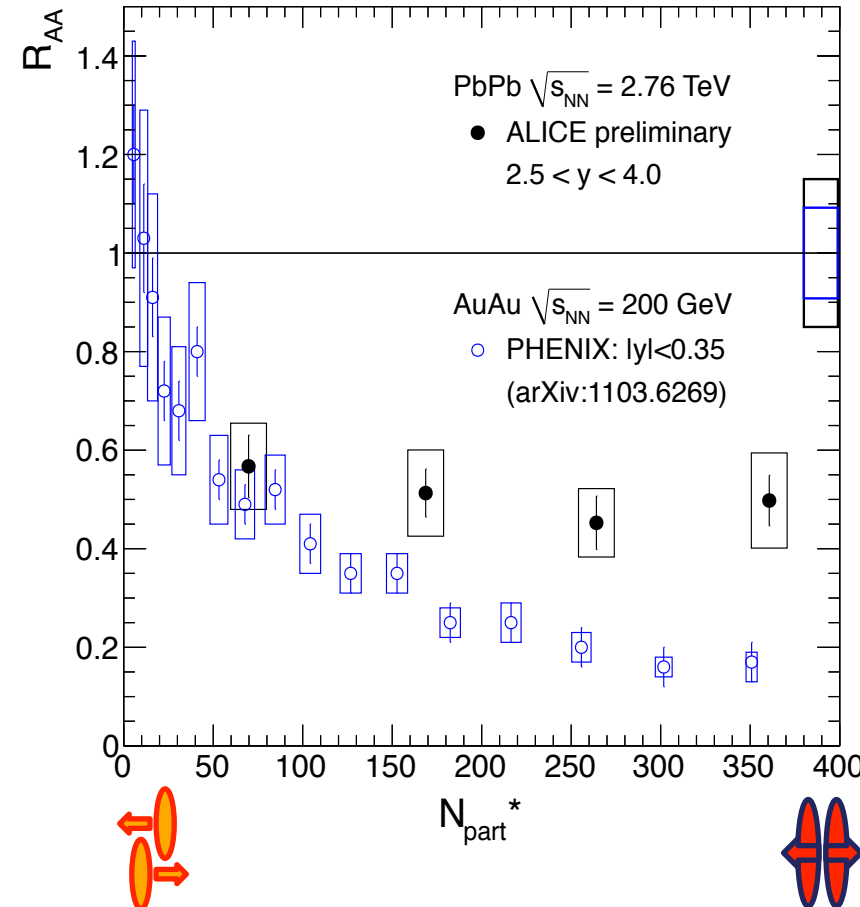
Ions Lourds

Tous Tonnes

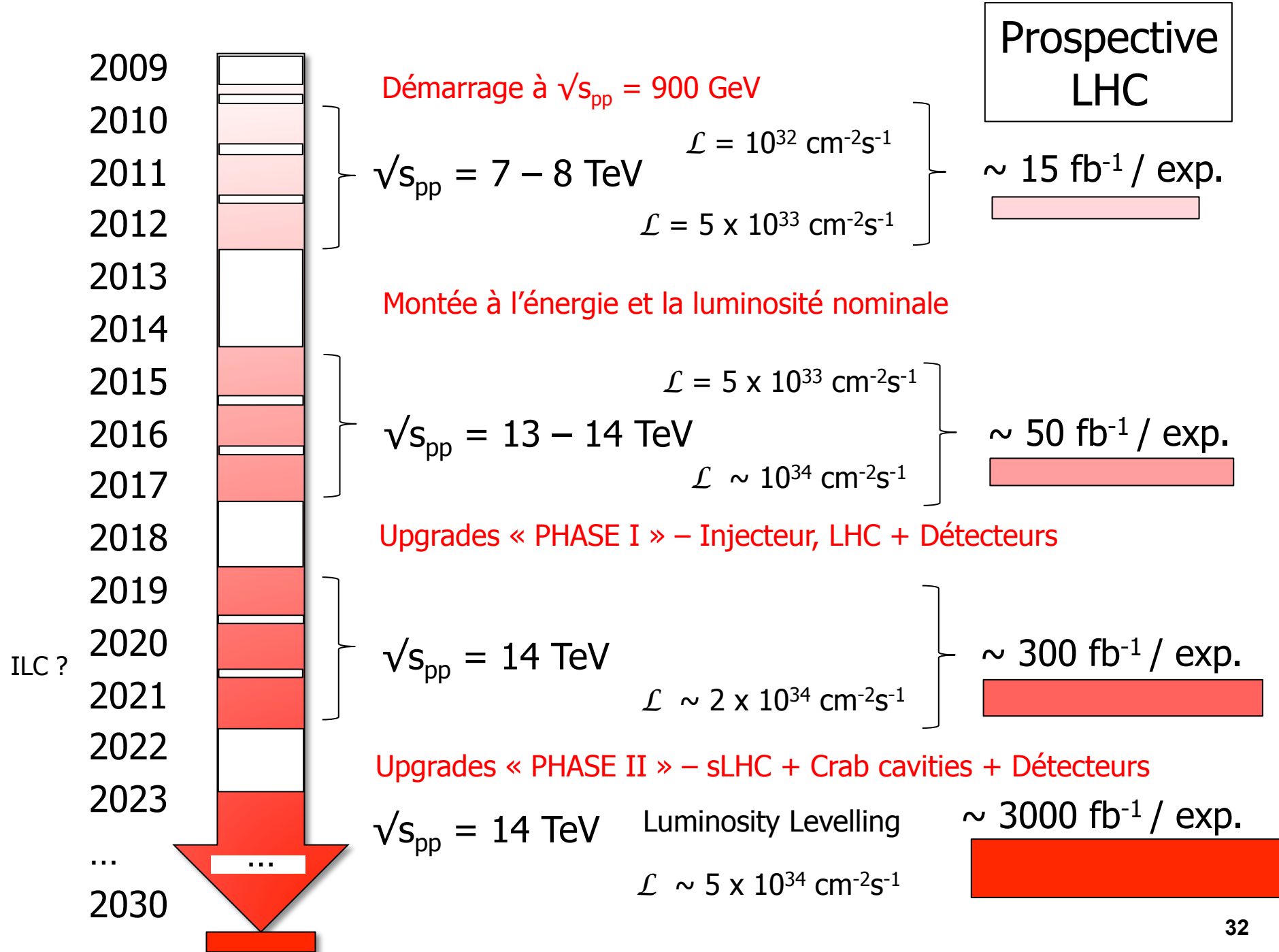
“Quarkonia”



Les J/ ψ de grand p_T sont plus
fortement supprimé qu'au
RHIC



Indication d'une régénération des
J/ ψ ?



Conclusions



- Une moisson très importante de données furent collectées au LHC en 2011 ($140 \times L^{pp}_{2010}$, $15 \times L^{PbPb}_{2010}$)
- Déjà plus de 225 publications par les quatres expériences utilisant des données de collisions et couvrant tout le programme du LHC
- Plus de 500 papiers (avec revue interne) pour résultats préliminaires ("Conference Notes", "Physics Analysis Summaries", "Conference Contributions" ...)
- L'année 2012 devrait être décisive pour la découverte (ou l'exclusion) définitive du boson de Higgs ... seule une zone de basse masse reste compatible avec le modèle standard.
- L'aventure ne fait que commencer pour la recherche de supersymétrie et autres particules exotiques à l'échelle multi-TeV (gain en \sqrt{s} attendu en 2014)